

Biozonation of Foraminifera and Oligosteginids of Late Albian-Middle Turonian at south flank of Khumi Anticline (East of Izeh Zone)

Mahtab Dousti Mohajer¹, Massih Afhgah^{2*}, Mohammadsadegh Dehghanian³, Seyed Jamalaldin Sheikh Zakariaii¹

1- Department of Geology, Science and Research Branch of Tehran, Islamic Azad University, Tehran, Iran

2- Department of Geology, Shiraz Branch, Islamic Azad University, Shiraz, Iran

3- Department of Geology, Bandar Abbas Branch, Islamic Azad University, Bandar Abbas, Iran

Keywords: Sarvak Formation, Albian - Turonian, Izeh Zone, Khami Anticline

1- Introduction

The Zagros Mountain Ranges is in the northeastern margin of the Arabian Plate (Takin, 1972; Farhudi, 1978; Berberian, 1995). This orogenic belt consists of three distinctive parallel tectonic zones: 1- Urumieh–Dokhtar Magmatic Assemblage (UDMA), 2- The Zagros Imbricate Zone (ZIZ), and 3- The Zagros Fold-Thrust Belt (ZFTB; Alavi, 2004). The Sarvak Formation has been a well-known oil reservoir in the Zagros area. The type section of Sarvak (limestone) Formation in Tang-e Sarvak, located at the south flank of the Kuh-e Bangesatan Anticline in the northwest of Khuzestan Province, has been measured (James and Wynd, 1965). The lower contact of Sarvak Formation in the type section is transitional and conformable with the Kazhdumi Formation, and the upper contact of Sarvak Formation is sharp and clear with marls and shales of the Gurpi Formation (Khosrow Tehrani and Fonooni, 1994; Afghah and Dehghanian, 2007; Afghah et al., 2011; Afghah et al., 2014; Afghah and Fadaei, 2015; Senemari and Afghah, 2020).

2- Material and methods

One hundred sixty-six samples were collected from the selected stratigraphic section of the Sarvak Formation, and thin sections were prepared. Laboratory studies were then conducted, including the preparation of microscopic sections and the microfossils' analysis in prepared thin sections. According to Postuma (1971); Caron (1985); Sliter (1989); Robaszynski and Caron (1995); Tur et al. (2001); Permoli Silva and Verga (2004); Afghah et al. (2011); Afghah and Fadaei (2011); Afghah et al. (2014); Afghah and Fadaei (2015); Coccioni and Premoli Silva (2015), the foraminifers were identified, and determination of oligosteginids were carried out by Adams et al. (1967); Nöel et al. (1995); Dias-Brito (2000); Wendler et al. (2013); Omaña et al. (2014); Omaña et al. (2019).

3- Results and discussion

The studied section of Sarvak Formation is a fossiliferous stratigraphic section (80 genera and 39 species) carrying both plankton and benthic foraminifers and oligosteginids:

Plankton foraminifers: *Ticinella madecassiana*, *Ticinella praeticinensis*, *Ticinella primula*, *Ticinella raynaudi*, *Ticinella roberti*, *Ticinella* sp., *Microhedbergella rischi*, *Muricochedbergella delrioensis*, *Muricochedbergella planispira*, *Muricochedbergella rischi*, *Muricochedbergella simplex*, *Muricochedbergella* sp., *Favusella washitensis*, *Macroglobigerinelloides bentonensis*, *Macroglobigerinelloides caseyi*, *Macroglobigerinelloides ultramicrus*, *Macroglobigerinelloides bentonensis*, *Globigerinelloides bentonensis*, *Globigerinelloides* sp., *Heterohelix globulosa*, *Heterohelix moremani*, *Heterohelix reussi*, *Clavihedbergella moremani*, *Clavihedbergella simplex*, *Paracostellagerina libyca*, *Planomalina bouxtorfi*, *Praeglobotruncana gibba*, *Schackoina bicornis*, *Dicarinella hagni*, *Dicarinella imbricata*, *Dicarinella* sp., *Marginotruncana renzi*, *Helvetoglobotruncana helvetica*, *Rotalipora cushmani*, *Rotalipora micheli*, *Rotalipora montsalvensis*, *Rotalipora* sp., *Pseudothalassinella subticinensis* (*Rotalipora subticinensis*), *Pseudothalassinella ticinensis* (*Rotalipora ticinensis*), *Thalassinella appenninica* (*Rotalipora appenninica*), *Thalassinella globotruncanoides* (*Rotalipora globotruncanoides*), *Thalassinella reicheli* (*Rotalipora reicheli*), *Thalassinella gandolfii* (*Rotalipora gandolfii*), *Whiteinella*

*Corresponding author: massihafg2002@yahoo.com

DOI: 10.22055/AAG.2020.34912.2160

Received 2020-09-06

Accepted 2020-10-05

apraca, *Whiteinella archaeocretacea*, *Whiteinella aumalensis*, *Whiteinella baltica*, *Whiteinella brittonensis*, *Whiteinella paradubia*, *Whiteinella praehelvetica*, *Guembelitria cenomana*.

Benthic foraminifers: *Nezzazata gyra*, *Nezzazata simplex*, *Nezzazata* sp., *Nezzazatinella picardi*, *Pseudolituonella reicheli*, *Biconcava bentori*, *Chrysalidina gradata*, *Daxia cenomana*, *Marsonella trochus*, *Marsonella turris*, *Minouxia* sp., *Murgeina apula*, *Nummoloculina regularis*, *Peneroplis parvus*, *Peneroplis turonicus*, *Spiroloculina cenomana*, *Spiroloculina cretacea*, *Moncharmontia appenninica*, *Gavinella* sp., *Lenticulina* sp., *Belorussiella* sp., Miliolid.

Oligosteginids: *Bonetocardiella conoidea*, *Calcsphaerula innominata*, *Pithonella ovalis*, *Pithonella perlonga*, *Pithonella sphaerica*, *Pithonella trejoi*, *Stomiosphaera conoidea*, *Stomiosphaera sphaerica*.

Based on the stratigraphic distribution of diagnosed foraminifers, 8 biozones and 2 subzones are established:

- *Pseudothalmanninella subticinensis* Partial range Zone (Late Albian)
- *Pseudothalmanninella ticinensis* Interval Zone (Late Albian)
- *Thalmanninella appenninica* Interval Zone (Latest Albian)
- *Rotalipora globotruncanoides* Interval Zone (Early Cenomanian)
- *Thalmanninella reicheli* Total range Zone (Early to Middle Cenomanian)
- *Rotalipora cushmani* Total range Zone (Middle to Late Cenomanian)
- *Whiteinella archaeocretacea* Partial range Zone (Latest Cenomanian to Early Turonian)
- *Whiteinella archaeocretacea* Interval subzone (Latest Cenomanian)
- *Dicarinella hagni* Interval subzone (Early Turonian)
- *Helvetoglobotruncana helvetica* Interval range Zone (Early Turonian- Middle Turonian).

The age of the Sarvak Formation in this section is Late Albian to Middle Turonian, while in Arsanjan (Afghah et al., 2014) and Bavan sections (Afghah and Fadaei, 2015), is Late Albian-Early Cenomanian. In Kherameh (Afghah and Fadaei, 2015), Samghan, Doroodzan, and Nour Abad sections (Afghah et al., 2014) is Cenomanian. Cenomanian determines the age of this formation in Dezful Embayment (Ahvaz, Marun, Ab-Teymour, Rag-e Sefid, Gachsaran oilfields) to Turonian (Omidvar et al., 2014). In contrast, Khosrow Tehrani and Fonooni (1994) confirmed that the Cenomanian age for the Sarvak Formation in the Izeh zone (Kuh-e Bangestan) is Cenomanian. The age determination of the Sarvak Formation was referred to as Mid Albian-Cenomanian in the Lurestan area (Kabir Kuh) (Daneshian et al., 2015).

The variation of biostratigraphic limits of the mentioned regions is referred to as sedimentary basin condition during the deposition of clean carbonate of Sarvak Formation, which is caused by basement fault (Qatar, Kazerun and Nezam Abad faults in the interior Fars, Hendijan-Bahregansar, MFF, and Balarud faults in Khuzestan). Sepehr and Cosgrove (2004) maintain that the movements of Zagros faults in the middle Cretaceous have caused the variety of the thickness, facies, and the age of different Formations before.

4- Conclusion

In this study, 213m. Sarvak Formation Kuh-e-Khumi (Marin) stratigraphic section as Cenomanian strata has been investigated. The lower contact of Sarvak Formation in the type section is conformable with Kazhdumi Formation, and the upper contact of Sarvak Formation with Gurpi Formation is unconformable. Eight biozones and two subzones are established based on the stratigraphic distribution of diagnosed foraminifers. The age of this formation in the Marin section is Late Albian to Middle Turonian. Much of the Marin section's foraminifera are planktonic. The too-high ratio of planktonic foraminifera compared with benthonic foraminifera (P/B ratio) suggests the deepness of the sedimentary environment compared with that of Fars and Kuh-e-Bangestan and Pyun sections. The sedimentation of the Sarvak Formation in this section, compared to the previous biostratigraphic data (zones of Izeh and some of Interior Fars sections like the Arsanjan section), has started earlier and ends later. The variation of the age of the Sarvak Formation which caused by a basement fault. The movements of Zagros faults in the middle Cretaceous have caused the variety of the thickness, facies, and the age of different Formations.

References

- Adams, T.D., Khalili, M., Khosravi Said, A., 1967. Stratigraphic significance of some oligosteginids from Lurestan province; Palaeontological Department. Iranian Oil Operating Company 13(1), 55-67.
- Afghah, M., Ahmadi, V., Damori, GH., 2011. Biostratigraphy of Sarvak Formation in Arsanjan and Doshman ziayari sections, First National Geology and Mining Exploration Symposium, Shiraz, pp. 1-7.
- Afghah, M., Dehghanian, M.S., 2007. Qualitative and quantitative study of the microfacies of the Sarvak Formation Kuh-e Khane-Kat and Kuh-e Shah-Neshin Sections in Fars province. Journal of Applied Geology 3(1), 7-16.
- Afghah, M., Fadaei, H.R., 2015. Biostratigraphy of Cenomanian succession in Zagros area (southwest of Iran). Geosciences Journal 19(2), 257-271.
- Afghah, M., Yousefzadeh, A., Shirdel, S., 2014. Biostratigraphic Revision of Middle Cretaceous Succession in South Zagros Basin (SW of Iran). Journal of Earth Science & Climatic Change 5, 1-10.
- Alavi, M., 2004. Regional stratigraphy of the Zagros fold-and-thrust belt of Iran and its proforland evolution. American Journal of Science 304, 1–20.
- Berberian, M., 1995. Master “blind” thrust faults hidden under the Zagros folds: active basement tectonics and surface morphotectonics. Tectonophys 241, 193-224.
- Bolli, H.M., 1966. Zonation of Cretaceous to Pliocene marine sediments based on Planktonic foraminifera. Boletín informativo dela Asociacion Venezolanade Geología, Mineríay Petroleo 9, 1-34.
- Caron, M., 1985. Cretaceous planktic foraminifers. In Bolli, H. M., Saunders, J. B., and Perch-Nielsen, K. (Eds.), Plankton Stratigraphy: Cambridge (Cambridge Univ. Press), pp. 17-86.
- Coccioni, R., Premoli Silva, I., 2015. Revised Upper Albian–Maastrichtian planktonic foraminiferal biostratigraphy and magneto-stratigraphy of the classical Tethyan Gubbio section (Italy). Newsletter Stratigraphy 48, 47–90.
- Dias-Brito, D., 2000. Global stratigraphy, palaeobiogeography and palaeo- ecology of Albian – Maastrichtian pithonellid calcispheres: Impact on Tethys configuration. Cretaceous Research 21, 315-349.
- Farhudi, G., 1978. A comparison of Zagros geology to island arcs. The Journal of Geology 86, 323-334.
- James, G.A., Wynd, J.G., 1965. Stratigraphic nomenclature of Iranian oil consortium agreement area. American Association of Petroleum Geologists Bulletin 49, 2182–2245.
- Khosrow Tehrani, K., Fonooni, B., 1994. New Investigations in Microbiostratigraphy of Sarvak formation in Fars and Khuzestan region. Geological Survey of Iran, Geoscience Journal 3, 2–15.
- Nöel, D., Busson, G., Mangin, A.M., Cornée, A., 1995. La distribution des Pithonelles dans le Cénomanien inférieur et moyen du Boulonnais (Nord de la France): liaison avec les alternances craies/craies marneuses et implications environnementales et historiques. Revue de Micropaléontologie 38, 245-255.
- Omaña, L., López-Doncel, R., Ramón Torres, J., Alencaster, G., López-Caballero, I., 2019. Mid–late Cenomanian larger benthic foraminifers from the El Abra Formation W Valles-San Luis Potosi Platform, central–eastern Mexico: Taxonomy, biostratigraphy and paleoenvironmental implications. Boletín de la Sociedad Geológica Mexicana 71(3), 691-725.
- Omaña, L., Torres, J.R., Doncel, R.L., Alencáster, G., Caballero, I.L., 2014. A pithonellid bloom in the Cenomanian-Turonian boundary interval from Cerritos in the western Valles–San Luis Potosi platform, Mexico: Paleoenvironmental significance. Revista Mexicana De Ciencias Geológicas 31(1), 28-44.
- Omidvar, M., Mehrabi, H., Sajjadi, F., Bahramizadeh-Sajjadi, H., Rahimpour-Bonab, H., Ashrafzadeh, A.R., 2014. Revision of the foraminiferal biozonation scheme in Upper Cretaceous carbonates of the Dezful Embayment, Zagros, Iran: Integrated palaeontological, sedimentological and geochemical investigation. Revue de micropaléontologie 57, 97-116.
- Postuma, J.A., 1971. Manual of planktonic foraminifera, Elsevier Publishing Company, Amesterdam, London, New York, 419p.
- Premoli Silva, I., Verga, D., 2004. Practical manual of Cretaceous planktonic foraminifera. In D. Verga, R. Rettori (Eds.), International School on Planktonic Foraminifera: Perugia, Italy, Tipografia Ponte Felcino, Universities of Perugia and Milan, 3rd Course, 283p.
- Robaszynski, F., Caron, M., 1995. Foraminifères planctoniques du Crétacé: commentaire de la zonation Europe-Méditerranée. Bulletin de la Société géologique de France 166, 681-692.
- Senemari, S., Afghah, M., 2020. Biostratigraphic correlation of Santonian-Maastrichtian calcareous nanofossil biozones with planktonic foraminifera zonation, Interior Fars region of the Zagros, southwest Iran. Carbonates Evaporites 35(2), 1-12.

- Sepehr, M., Cosgrove, J.W., 2004. Structural framework of the Zagros Fold-Thrust Belt, Iran. *Marine and Petroleum Geology* 21(7), 829-843.
- Sliter, V.W., 1989. Biostratigraphic zonation for Cretaceous planktonic foraminifers examined in thin section. *Journal of Foraminiferal Research* 19(1), 1-19.
- Takin, M., 1972. Iranian geology and continental drift in the Middle East. *Nature* 235, 147-150.
- Tur, N.A., Smirnov, J.P., Huber, B.T., 2001. Late Albian-Coniacian planktonic oraminifera biostratigraphy of the northeastern Caucasus. *Cretaceous Research* 22, 719-734.
- Wendler, J.E., Bown, P., 2013. Exceptionally well-preserved Cretaceous microfossils reveal new biomineralization styles. *Nature Communications* 4.

HOW TO CITE THIS ARTICLE:

Dousti Mohajer, M., Afhgah, M., Dehghanian, M., Sheikh Zakariaii, S.M., 2022. Biozonation of Foraminifera and Oligosteginids of Late Albian-Middle Turonian at south flank of Khumi Anticline (East of Izeh Zone). *Adv. Appl. Geol.* 11(4), 877- 902.

DOI: 10.22055/AAG.2020.34912.2160

url: https://aag.scu.ac.ir/article_16263.html?lang=en

بایوزوناسیون فرامینیفرها و الیگوسترنیدهای آلبین پسین - تورونین میانی در یال جنوبی تاقدیس خامی (شرق زون ایده)

مهمتاب دوستی مهاجر

گروه زمین شناسی، واحد علوم و تحقیقات تهران، دانشگاه آزاد اسلامی، تهران، ایران

*مسیح افجه

گروه زمین شناسی، واحد شیراز، دانشگاه آزاد اسلامی، شیراز، ایران

محمد صادق دهقانیان

گروه زمین شناسی، واحد بندرعباس، دانشگاه آزاد اسلامی، بندرعباس، ایران

سید جمال الدین شیخ ذکریابی

گروه زمین شناسی، واحد علوم و تحقیقات تهران، دانشگاه آزاد اسلامی، تهران، ایران

تاریخ دریافت: ۱۳۹۹/۵/۱۷ تاریخ پذیرش: ۱۳۹۹/۹/۷

*massihafg2002@gmail.com

چکیده

در این پژوهش فرامینیفرها و الیگوسترنیدهای سازند سروک در تاقدیس خامی (شرق زون ایده) با نام برش مارین، مورد مطالعه قرار گرفته است. در این برش سازند سروک با ضخامتی در حدود ۲۱۳ متر با مرزی پیوسته روی سازند کردمی و با ناپیوستگی فرسایشی، در زیر سازند گورپی قرار گرفته است. در مجموع ۸۰ گونه و ۳۹ جنس در این برش شناسایی شدند که از این میان ۴۹ گونه و ۱۹ جنس از فرامینیفرهای پلانکتون، ۸ گونه و ۴ جنس از الیگوسترنیدها و نیز ۲۲ گونه و ۱۷ جنس از فرامینیفرهای بنتیک شناسایی گردید. بر اساس ظهور و افول گونه‌های شاخص شناسایی شده در این برش، ۸ بیوزون و ۲ ساب زون معروفی شدند که از قدیم به جدید به شرح زیر می‌باشند:

Pseudothalassinella subticingensis Partial range Zone (Late Albian), *Pseudothalassinella ticingensis* Interval Zone (Late Albian), *Thalassinella appenninica* Interval Zone (Early Cenomanian), *Thalassinella reicheli* Zone (Latest Albian), *Rotalipora globotruncanoides* to Middle Cenomanian), *Rotalipora cushmani* Total range Zone (Middle to Late Total range Zone (Early Cenomanian), *Whiteinella archaeocretacea* Partial range Zone (Latest Cenomanian to Early Turonian), *Whiteinella* subzone (Early Turonian), Interval subzone (Latest Cenomanian), *Dicarinella hagni archaeocretacea* Interval Zone (Early Turonian- Middle Turonian) شناسایی شده، سن سازند سروک در این برش، آلبین بالایی تا تورونین میانی می‌باشد.

کلمات کلیدی: آلبین، تورونین، سازند سروک، زون ایده، تاقدیس خامی

زاگرس می‌باشد (Alavi, 2004). برش مورد مطالعه در تاقدیس خامی

واقع زون زاگرس چین خورده (ساب زون ایده) قرار گرفته است. سازند سروک یکی از مهم‌ترین مخازن نفتی کرتاسه در زاگرس می‌باشد. برش نمونه سازند آهکی سروک در تنگ سروک واقع در یال جنوبی تاقدیس کوه بینکستان در شمال غربی بهبهان در استان خوزستان به مختصات "29° 29' 58" N 30° 07' 11" E 50° 07' 11" E اندازه‌گیری شده است (James and Wynd, 1965). این سازند در برش نمونه ۸۲۱/۵ متر سنگ آهک می‌باشد. مرز پایینی سازند سروک سازند کردمی تدریجی و پیوسته و مرز بالایی آن با مارن‌ها و شیل‌های سازند گورپی، (Khosrow Tehrani and Fonooni, 1994; Afghah and Dehghanian, 2007; Afghah et al., 2011; Afghah et al., 2014; Afghah and Fadaei, 2015; Senemari and Afghah, 2020)

مقدمه

کمریند کوهزایی زاگرس در بخش میانی کمریند کوهزایی آپی جای گرفته و از نگاه زمین‌ساخت ورقه‌ای این کمریند کوهزایی به عنوان لبه پرتکاپوی ژئودینامیکی صفحه عربی در نظر گرفته می‌شود. به همین دلیل این کمریند چین خورده - رانده را نتیجه برخورد صفحه لیتوسفری عربی به بلوك لیتوسفری ایران (لبه جنوبی ابرقاره اوراسیا) در پایان Krtasseh یا در آغاز پالاؤسن می‌دانند (Takin; 1972; Farhudi, 1972; Farhudi, 1978; Berberian, 1981). کوهزاد زاگرس در بردارنده سه زون تکتونیکی با صفت‌های مشخص است: از شمال شرق کمان مائیمایی ارومیه- دختر UDMA، زون فلیسی زاگرس ZIZ که شامل زون‌های سنندج - سیرجان و زون راندگی زاگرس و نهایتاً کمریند چین و راندگی

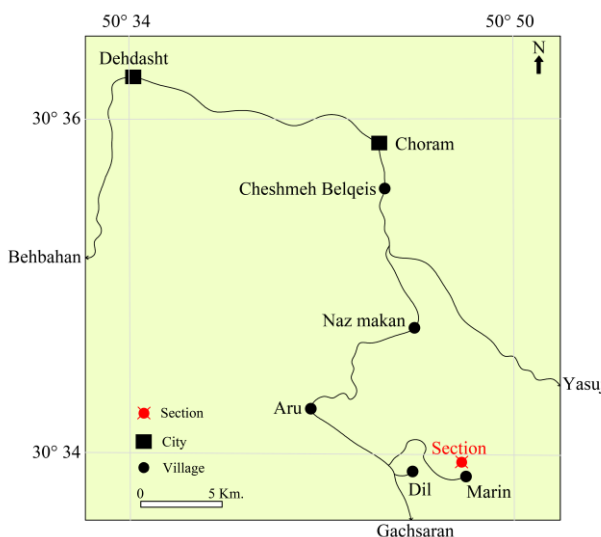
تاقدیس روندی شمال غربی - جنوب شرقی دارد و در شرق زون ایده (ساب زون خامی) واقع شده است. طول آن در حدود 47° و عرض آن حدوداً 6° تا 7° کیلومتر می‌باشد و بین تاقدیس لار، در شمال و تاقدیس‌های میش و دیل، در جنوب قرار دارد (شکل ۱). یال جنوبی این تاقدیس که برش موردنظر مطالعه در آن قرار دارد، برگشته است. در محل برش، شیب لایه‌های 62° درجه و جهت شیب شمال شرقی می‌باشد. قدیمی‌ترین سازند موجود در این تاقدیس، سازند فهله‌یان می‌باشد که روی آن سازندهای گدوان، داریان، کژدمی، سروک، گورپی، پابده، آسماری و گچساران قرار می‌گیرند.

موقعیت جغرافیایی برش مورد مطالعه

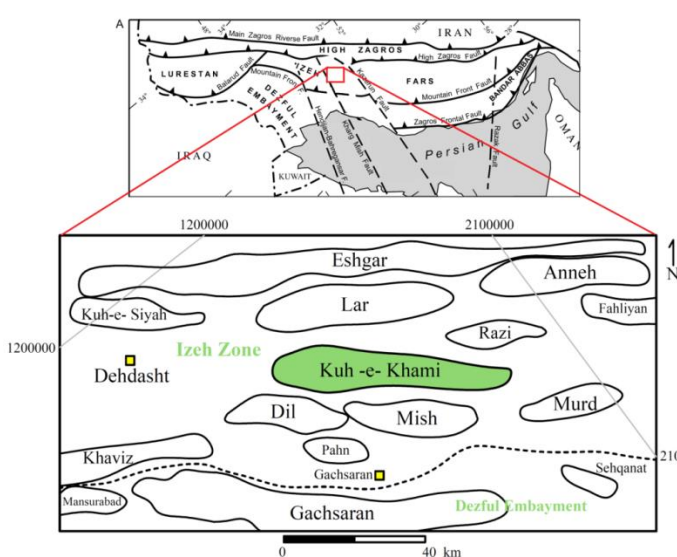
این برش در استان کهگیلویه و بویراحمد، جنوب شرق شهر دهدشت، شمال شهر گچساران و در شمال روستای مارین واقع شده است. مختصات جغرافیایی قاعده برش مارین، عرض $33^{\circ}16'$ و شمالی و طول $48^{\circ}06'$ شرقی می‌باشد. برش مارین، در یال جنوبی تاقدیس خامی قرار گرفته است. فالصل برش مارین تا چرام $23/5$ کیلومتر و تا دهدشت، $52/5$ کیلومتر می‌باشد. محل این برش در نقشه ۱ نشان داده شده است.

زمین‌شناسی عمومی منطقه مورد مطالعه

تاقدیس خامی در 15 کیلومتری شمال شهرستان گچساران (دوگنبدان) در استان کهگیلویه و بویر احمد قرار گرفته است. این



شکل ۱- موقعیت جغرافیایی برش چینه‌شناسی مارین.
Fig. 1. Location map of the Marin section.



شکل ۱- موقعیت زمین‌شناسی تاقدیس خامی در شرق زون ایده (تقسیمات زاگرس در شکل بالا از Sherkati and Letouzey, 2004)
Fig. 1. Geological setting of the Khumi Anticline in east Izeh Zone (main structural subdivisions of the Zagros fold and thrust belt from Sherkati and Letouzey, 2004).

روش کار

سازند سروک در این برش از ۲۱۳/۲ متر آهک و اندکی شیل تشکیل شده است. به صورت محلی می‌توان سازند سروک را در این برش، به سه واحد زیر تقسیم کرد (شکل ۴):

واحد زیرین: سنگ‌آهک‌های نازک لایه خاکستری تشکیل دهنده اصلی این واحد می‌باشند که در میان آن‌ها، میان لایه‌های شیل خاکستری نازک لایه نیز دیده می‌شود و ضخامت این واحد در حدود ۳۷ متر می‌باشد. سن واحد زیرین، آلبین پسین می‌باشد. رخساره‌های این واحد در محیط حوضه و شلف بیرونی تشکیل شده‌اند و با یوکلاست هایی چون فرامینیفرهای پلانکتون و الیگوسترنینیدها، دانه‌های اصلی رخساره‌ها می‌باشند.

واحد میانی: لیتولوژی غالب این واحد، سنگ‌آهک‌های متوسط لایه خاکستری و کرم رنگ می‌باشند و دارای میان لایه‌های سنگ‌آهک نازک لایه خاکستری می‌باشند. در بخش‌های ابتدایی این واحد، لایه‌ی حاوی نودول‌های آهن دیده می‌شود که به نظر می‌رسد در اثر پایین‌افتادگی خط ساحلی در آلبین پسین، به صورت محلی تشکیل شده است. ضخامت این واحد ۱۳۸ متر می‌باشد که طی انتهای آلبین پسین تا میانه سنومانین پسین تشکیل شده است. رخساره غالب در این واحد، رخساره‌های شلف بیرونی، سراشیب قاره و اندکی حوضه هستند که حاوی میزان فراوانی با یوکلاست های پلانکتون، چون فرامینیفرهای پلانکتون و الیگوسترنینید می‌باشند.

واحد بالایی: قسمت زیرین این واحد از سنگ‌آهک ای ضخیم لایه خاکستری و کرم رنگ و قسمت بالایی آن از سنگ‌آهک‌های توده‌ای خاکستری و کرم رنگ تشکیل شده است. ضخامت این واحد ۳۸ متر می‌باشد و رسوبات آن در طی سنومانین پسین تا تورونین پیشین ته‌نشست شده‌اند. در انتهای این واحد حدود ۱/۵ متر سنگ‌آهک نازک لایه و آهک شیلی نازک لایه متورق دیده می‌شود که با سایر رخساره‌های واحد تفاوت آشکار لیتولوژیکی دارد. رخساره‌های واحد بالایی، متعلق به رمپ درونی، میانی و بیرونی می‌باشند و به مانند واحد قبل، فرامینیفرهای پلانکتون و الیگوسترنینید، دانه‌های اصلی می‌باشند.

در مجموع تعداد ۱۶۶ نمونه از ۲۱۳/۲ متر از رسوبات سازند سروک در برش مارین، برداشت شد و مقطع نازک از نمونه‌ها تهیه گردید. سپس مطالعات آزمایشگاهی شامل تهیه مقاطع میکروسکوپی در کارگاه مقطع گیری، مطالعه و تشخیص میکروفسیل‌های موجود در مقاطع جهت تعیین سن و بیوزوناسیون و عکس‌برداری از مقاطع میکروسکوپی انجام گرفته است. در مرحله انتهایی ستون‌های لیتواستراتیگرافی و با یواستراتیگرافی ترسیم گردید. جهت شناسایی گونه‌های فرامینیفر، از متابعی چون Postuma (1971); Caron (1985); Sliter (1989); Robaszynski and Caron (1995); Tur et al. (2001); Permoli Silva and Verga (2004); Afghah et al. (2011); Afghah and Fadaei (2011); Afghah et al. (2014); Afghah and Fadaei (2015); Coccioni and Adams el al. (1967); Nöel et al. (1995); Dias-Brito (2000); Wendler et al. (2013); Omaña et al (2014); Omaña et al (2019) منابعی همچون و نیز جهت شناسایی الیگوسترنینیدها از استفاده گردیده است.

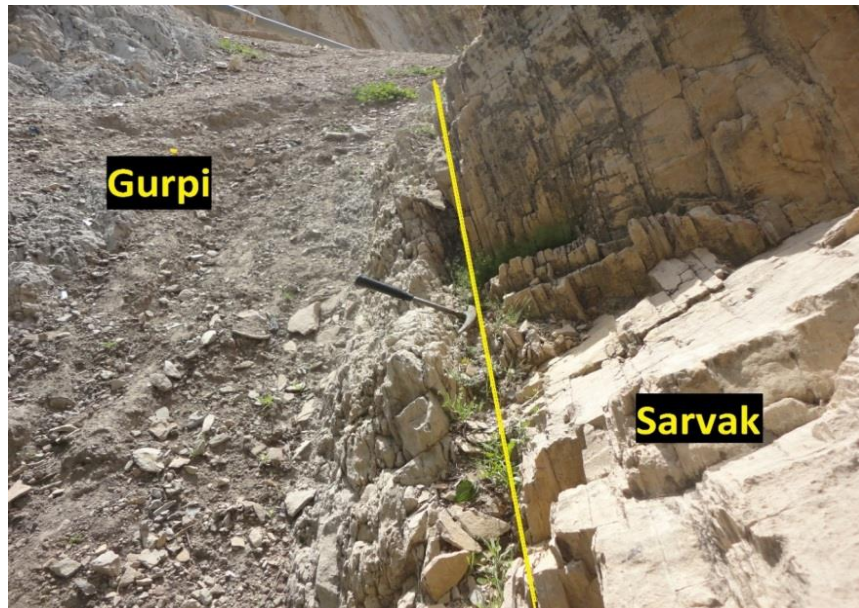
چینه نگاری سازند سروک در برش یال جنوبی خامی

در این برش، با توجه به برگشتگی لایه‌ها، توالی معکوس دیده می‌شود، به گونه‌ای که سازندهای قدیمی‌تر، روی سازندهای جدیدتر قرار گرفته اند. به این دلیل، سازند کژدمی، روی سروک و سروک روی گورپی، قرار گرفته است. سازند کژدمی در این برش، به صورت آهک‌های نازک و متوسط لایه خاکستری روشن تا سفید، در تناب و با شیل نازک لایه دیده می‌شود. از لایه‌های انتهایی این سازند، ۶ نمونه با پیشوند MK اخذ شد که در مجموع ضخامتی در حدود ۱۳ متر دارند. مرز این دو سازند با توجه عدم وجود شواهد خروج از آب، پیوسته و تدریجی می‌باشد (شکل ۲). سازند گورپی در یال جنوبی خامی از شیل زیتونی و آهک شیلی کرم تشکیل شده است و با مرزی ناپیوسته روی سازند سروک قرار گرفته است (شکل ۳). به منظور بررسی دقیق مرز این دو سازند، ۴ نمونه با پیشوند MG اخذ گردید که ضخامتی در حدود ۵ متر را پوشش می‌دهند.



شکل ۲- نمایی از مرز سازند های داریان، کژدمی و سروک در برش مارین.

Fig. 2. The contact of Sarvak- Kazhdumi-Dariyan Formations.



شکل ۳- نمایی از مرز سازندهای سروک و گورپی در برش مارین.

Fig. 3. The disconformable contact of Sarvak-Gurpi Formations.

Pseudothalmanninella ticticensis (*Rotalipora ticticensis*), *Thalmanninella appenninica* (*Rotalipora appenninica*), *Thalmanninella globotruncanoides* (*Rotalipora globotruncanoides*), *Thalmanninella reicheli* (*Rotalipora reicheli*), *Thalmanninella gandolfii* (*Rotalipora gandolfii*), *Whiteinella aprica*, *Whiteinella archaeocretacea*, *Whiteinella aumalensis*, *Whiteinella baltica*, *Whiteinella brittonensis*, *Whiteinella paradubia*, *Whiteinella praehelvetica*, *Guembelitria cenomana*.

همچنین ۸ گونه و ۴ جنس از الیگوسترینیدها شناسایی شدند که عبارت‌اند از:

Bonetocardiella conoidea, *Calcisphaerula innominata*, *Pithonella ovalis*, *Pithonella perlonga*, *Pithonella sphaerica*, *Pithonella trejoi*, *Stomiosphaera conoidea*, *Stomiosphaera sphaerica*.

علاوه بر این ۲۲ گونه و ۱۷ جنس از فرامینیفرهای بنتیک شناسایی گردید:

Nezzazata gyra, *Nezzazata simplex*, *Nezzazata sp.*, *Nezzazatinella picardi*, *Pseudolituonella reicheli*, *Biconcava bentori*, *Chrysalidina gradata*, *Daxia cenomana*, *Marsonella trochus*, *Marsonella turris*, *Minouxia sp.*, *Murgeina apula*, *Nummoloculina regularis*, *Peneroplis parvus*, *Peneroplis turonicus*, *Spiroloculina cenomana*, *Spiroloculina cretacea*, *Moncharmontia appenninica*, *Gavinella sp.*, *Lenticulina sp.*, *Belorussiella sp.*, *Miliolid*.

بر اساس ظهور و افول گونه‌های شاخص شناسایی شده در این برش، ۸ بیوزون و ۲ ساب زون معرفی شدند که از قدیم به جدید به شرح زیر می‌باشند:

بیواستراتیگرافی و بایوزوناسیون سازند سروک در برش مارین

رسوبات سازند سروک در این برش، حاوی میکروفیل‌های پلانکتون (فرامینیفرهای پلانکتون، الیگوسترینیدها و رادیولرها)، متنوعی هستند. علاوه بر این، تعدادی فرامینیفرهای بنتیک، خصوصاً در بخش‌های میانی و در مجموع ۸۰ گونه و ۳۹ جنس در این برش شناسایی گردید. فرامینیفرهای پلانکتون شناسایی شده، شامل ۴۹ گونه و ۱۹ جنس، به شرح زیر می‌باشند:

Ticinella madecassiana, *Ticinella praeticinensis*, *Ticinella primula*, *Ticinella raynaudi*, *Ticinella roberti*, *Ticinella sp.*, *Microhedbergella rischi*, *Muricohedbergella delrioensis*, *Muricohedbergella planispira*, *Muricohedbergella rischi*, *Muricohedbergella simplex*, *Muricohedbergella sp.*, *Favusella washitensis*, *Macroglobigerinelloides bentonensis*, *Macroglobigerinelloides caseyi*, *Macroglobigerinelloides ultramicrus*, *Macroglobigerinelloides bentonensis*, *Globigerinelloides bentonensis*, *Globigerinelloides sp.*, *Heterohelix globulosa*, *Heterohelix moremani*, *Heterohelix reussi*, *Clavihedbergella moremani*, *Clavihedbergella simplex*, *Paracostellagerina libyca*, *Planomalina bouxtorfi*, *Praeglobotruncana gibba*, *Schackoina bicornis*, *Dicarinella hagni*, *Dicarinella imbricata*, *Dicarinella sp.*, *Marginotruncana renzi*, *Helvetoglobotruncana helvetica*, *Rotalipora cushmani*, *Rotalipora micheli*, *Rotalipora montsalvensis*, *Rotalipora sp.*, *Pseudothalmanninella subticinensis* (*Rotalipora subticinensis*),

Muricohedbergella delrioensis, *Muricohedbergella simplex*, *Muricohedbergella planispira*, *Macroglobigerinelloides ultramicrus*, *Rotalipora micheli*, *Rotalipora sp.*
Stomiosphaera sphaerica.

الیگوسترنید: این بیوزون معادل *ticinensis* Zone *Rotalipra* معرفی شده Dalbiez (1955); Wonders (1980); Caron (1985); Sliter (1989); Hardenbol et al. (1998); Premoli Silva and Verga (2004) *Biticinella* و نیز بخش بالای *breggiensis* Zone ارائه شده توسط Postuma (1971) می‌باشد. با توجه به شرح فوق و با عنایت به بایوزوناسیون‌های یادشده، سن این بیوزون، آلبین پسین می‌باشد.

Biozone No. 3- *Thalmanninella appenninica* Interval Zone

Author: Bronnimann (1952)- Age: Latest Albian
از منظر سنگ چینه نگاری، این بیوزون در ابتدا از تناوب سنگ‌آهک نازک تا متوسط لایه با شیل نازک و سپس سنگ‌آهک متوسط لایه با میان لایه‌های نازک که در لایه‌های انتهایی دارای ندول آهن می‌باشند، تشکیل شده و ضخامتی برابر ۵-۲ متر دارد. این بیوزون با ظهور *Thalmanninella appenninica* می‌شود و انتهای آن، منطبق بر ظهور گونه *Thalmanninella globotruncanoides* در نمونه MS-43 می‌باشد که نشانگر شروع سنومانین است.

میکرو فسیل‌های شناسایی شده در این بیوزون، به شرح ذیل می‌باشند:

Thalmanninella appenninica, *Thalmanninella gandolfii*, *Pseudothalmanninella subticinensis*, *Pseudothalmanninella ticinensis*, *Rotalipora micheli*, *Rotalipora montsalvensis*, *Rotalipora sp.*, *Ticinella madecassiana*, *Ticinella praeticinensis*, *Ticinella primula*, *Ticinella roberti*, *Ticinella sp.*, *Clavihedbergella simplex*, *Clavihedbergella moremani*, *Favusella washitensis*, *Heterohelix globulosa*, *Heterohelix moremani*, *Heterohelix reussi*, *Macroglobigerinelloides bentonensis*, *Macroglobigerinelloides caseyi*, *Macroglobigerinelloides ultramicrus*, *Macroglobigerinelloides sp.*, *Globigerinelloides bentonensis*, *Globigerinelloides sp.*, *Microhedbergella rischi*, *Muricohedbergella delrioensis*, *Muricohedbergella planispira*, *Muricohedbergella rischi*, *Muricohedbergella simplex*, *Muricohedbergella sp.*, *Planomalina bouxtorfi*, *Schackoina bicornis*.

الیگوسترنیدها: *Bonetocardiella conoidea*, *Calcisphaerula innominata*, *Pithonella ovalis*, *Pithonella sphaerica*, *Stomiosphaera sphaerica* فرامینیفرهای بنتیک: *Nezzazata simplex*, *Nezzazata sp.*, *Nezzazatinella picardi*, *Peneroplis parvus*,

Biozone No. 1- *Pseudothalmanninella subticinensis*

Partial range Zone

Author: Postuma (1971)- Age: Late Albian

لایه که در تناوب با شیل نازک لایه متورق به رنگ خاکستری است، دیده می‌شود. ضخامت آن ۲۱ متر بوده و با نخستین ظهور (FO) گونه MS-1 *Pseudothalmanninella subticinensis* شروع و به نخستین ظهور گونه *Pseudothalmanninella ticinensis* در نمونه MS-9 ختم می‌شود.

گونه‌های شناسایی شده در این برش عبارت‌اند از:

Ticinella madecassiana, *Ticinella primula*, *Ticinella roberti*, *Ticinella raynaudi*, *Ticinella sp.*, *Microhedbergella rischi*, *Muricohedbergella rischi*, *Muricohedbergella sp.*, *Muricohedbergella planispira*, *Muricohedbergella delrioensis*, *Muricohedbergella simplex*, *Favusella washitensis*, *Clavihedbergella simplex*, *Heterohelix globulosa*, *Heterohelix moremani*, *Heterohelix reussi*, *Pseudothalmanninella subticinensis*, *Rotalipora micheli*, *Rotalipora sp.* الیگوسترنیدها: *Pithonella trejoi*, *Pithonella sphaerica*, *Bonetocardiella conoidea*, *Calcisphaerula innominata*, *Stomiosphaera sphaerica*. فرامینیفرهای بنتیک: *Nezzazata sp.*, *Marsonella trochus*, *Lenticulina sp.*, *Minouxia sp.*, *Belorussiella sp.*, *Gavinella sp.*

این بیوزون معادل *Rotalipora subticinensis* Zone معرفی شده Postuma (1971); Wonders (1980); Caron (1985); توسط *Rotalipara* و نیز معادل *Heterohelix* *subticinensis* Subzone *moremani* در بایوزوناسیون (1989); Premoli Silva and Verga (2004) بالای بیوزون *Biticinella breggiensis* Zone گزارش شده است. بر اساس گونه‌های شاخص مذکور در این بیوزون و نیز با توجه به منابع ذکر شده، سن این بیوزون آلبین پسین می‌باشد.

Biozone No. 2- *Pseudothalmanninella ticinensis* Interval Zone

Author: Dalbiez (1955) - Age: Late Albian

مانند بیوزون قبل، این بیوزون نیز در تناوب سنگ‌آهک نازک تا متوسط لایه با شیل نازک لایه متورق به رنگ خاکستری، مشاهده می‌شود. ضخامت آن بسیار کم و در حدود ۲ متر است. بیوزون فوق با ظهور *Pseudothalmanninella ticinensis* شروع *Thalmanninella appenninica* و با نخستین حضور گونه *MS-9* خاتمه می‌یابد.

گونه‌های شناسایی شده در این بیوزون، عبارت‌اند از: فرامینیفرهای پلانکتون: *Pseudothalmanninella ticinensis*, *Pseudothalmanninella subticinensis*, *Ticinella madecassiana*, *Muricohedbergella rischi*,

تایه حال در از سازند سروک در زون *Paracostellagerina libyca*
این معرفی نشده است.

گونه‌های شناسایی شده در این بیوزون، به شرح زیر می‌باشند:

فرامینیفرهای پلاتکتون: *Thalmanninella globotruncanoides*, *Whiteinella brittonensis*, *Rotalipora* sp., *Favusella washitensis*, *Heterohelix globulosa*, *Heterohelix moremani*, *Heterohelix reussi*, *Macroglobigerinelloides bentonensis*, *Macroglobigerinelloides caseyi*, *Macroglobigerinelloides ultramicrus*, *Macroglobigerinelloides* sp., *Globigerinelloides bentonensis*, *Globigerinelloides* sp., *Muricohedbergella delrioensis*, *Muricohedbergella planispira*, *Muricohedbergella simplex*, *Paracostellagerina libyca*, *Planomalina bouxtorfi*, *Whiteinella praehelvetica*.

الیگوستزتینیدهای *Calcisphaerula innominata*, *Pithonella ovalis*, *Pithonella perlonga*, *Pithonella sphaerica*, *Pithonella trejoi*, *Stomiosphaera sphaerica*. فرامینیفرهای بنتیک: *Pseudolituonella reicheli*, *Spiroloculina cretacea*, *Nezzazata simplex*, *Nezzazata* sp., *Nezzazatinella picardi*, *Peneroplis turonicus*, *Biconcava bentori*, *Gavinella* sp., *Lenticulina* sp., *Marsonella trochus*, *Marsonella turris*, *Belorussiella* sp., *Minouxia* sp., Miliolid

این بیوزون معادل بیوزون Lehmann (1966); معرفی شده توسط *globotruncanoides* Premoli Silva and Verga Robaszynsky (1998); (2004); Kennedy et al. (2004); Ghanem et al. (2012); Ghanem and Kuss (2013); Coccioni and Premoli Rotalipora Silva (2015); Ogg et al. (2016) Caron (1985); Sliter ارائه شده توسط *brotzeni* Zone (1989); Bralower et al. (1997); Robaszynski and Caron (1995) می‌باشد. با توجه به گونه‌های شناسایی شده و نیز بر اساس بیوزوناسیون های مذکور، سن این بیوزون، سنومانین پیشین می‌باشد.

Biozone No. 5- *Thalmanninella reicheli* Total range Zone

Author: Bolli (1966) - Age: Early to Middle Cenomanian

این بیوزون در سنگ‌آهک‌های متوسط لایه با میان لایه‌های نازک دیده می‌شود و ضخامتی برابر ۱۸ متر دارد. بیوزون مذکور در بردارنده محدوده ظهور تا انقراض گونه *Thalmanninella reicheli* بوده و به این دلیل یک Total range Zone محسوب می‌شود (از نمونه MS-69 تا ۸۶ MS-). انقراض گونه یاد شده در این بیوزون، منطبق بر ظهور گونه *Rotalipora cushmani* می‌باشد. این همزمانی توسط Caron (1985); Sliter (1989); Robaszynsky (1998); Luciani and Cobianchi (1999); Premoli Silva and Verga (2004) نیز مطرح شده است.

Pseudolituonella reicheli, *Murgeina apula*, *Biconcava bentori*, *Gavinella* sp., *Lenticulina* sp., *Marsonella trochus*, *Minouxia* sp., *Belorussiella* sp., Miliolid

چنانچه مشاهده شد، تنوع گونه‌های بنتیک در این بیوزون زیاد است. اگرچه در نگاه اول، گونه‌های بنتیک یاد شده، سنی معادل سنومانین دارند اما در برخی مناطق، از انتهای آلبین گزارش شده‌اند و حضور آن‌ها در این بیوزون، غیرعادی نیست. برای مثال گونه *Nezzazata simplex* از رسوبات آلبین تا تورونین پیشین در نقاط مختلف جهان گزارش شده است (Omaña et al., 2019). همچنین این گونه از آلبین تا سنومانین سوریه توسط Ghanem and Kuss (2013); *Pseudolituonella* Ghanem et al. (2012) Saint-Marc (1974) از انتهای آلبین، در مدیترانه توسط *Biconcava bentori* (Ghanem et al., 2012) Schroeder and Neumann (1985) و از انتهای آلبین تا سنومانین در سوریه توسط *Peneroplis parvus* و آلبین پسین (Schroeder and Neumann 1985) (Ghanem and Kuss, 2013; Ghanem et al. در سوریه 2012), گزارش شده‌اند. بیوزون فوق قابل مقایسه با بیوزون از انتهای آلبین توسط (Ghanem and Kuss, 2013) در نمونه *Rotalipora appenninica* Zone Bronnimann (1952); Caron (1985); Sliter (1989); Robaszynski and Caron (1995); Hardenbol et al. (1998); Premoli Silva and Verga (2004); Ogg and Ogg, (2008); Tur et al. (2010); Ghanem and Kuss (2013) می‌باشد. با توجه گونه‌های شناسایی شده و شرح فوق، سن این بیوزون، انتهای آلبین پسین می‌باشد.

Biozone No. 4- *Rotalipora globotruncanoides* Interval Zone

Author: Lehmann (1966)- Age: Early Cenomanian این بیوزون از منظر سنگ چینه‌ای از سنگ‌آهک متوسط لایه با میان لایه‌های نازک تشکیل شده و ۲۶ متر ضخامت دارد. بیوزون مذکور با ظهور گونه *Rotalipora globotruncanoides* در نمونه MS-43 MS- شروع و با اولین حضور *Thalmanninella reicheli* در نمونه 69 خاتمه می‌پذیرد. هم‌زمان با ظهور گونه *Thalmanninella globotruncanoides* که نشانگر شروع سنومانین پیشین (Robaszynski and Caron, 1995; Tur et al., 2001; Kennedy et al., 2004; Premoli Silva and Verga, 2004; Coccioni and Premoli Silva, 2015; Ogg et al., 2016) است (1۳۹۳) گونه *Paracostellagerina libyca* نیز ظاهر می‌شود. این گونه که برای اولین بار در ایران، در حوضه لرستان، توسط دانشیان و همکاران (Thalmanninella شناسایی گردید، نیز معرف شروع سنومانین در آن حوضه است (با این تفاوت که در برش‌های مذکور، شناسایی *globotruncanoides* نشده است).

Whiteinella *Rotalipora cushmani* نزدیک به اولین حضور *archaeocretacea* گزارش شده است.

میکروفسیل‌های شناسایی شده در این بیوزون، عبارت‌اند از:

Rotalipora cushmani, *Rotalipora micheli*, *Favusella washitensis*, *Heterohelix globulosa*, *Heterohelix reussi*, *Macroglobigerinelloides bentonensis*, *Macroglobigerinelloides sp.*, *Globigerinelloides bentonensis*, *Globigerinelloides sp.*, *Muricohedbergella delrioensis*, *Muricohedbergella planispira*, *Muricohedbergella simplex*, *Praeglobotruncana gibba*, *Whiteinella baltica*, *Whiteinella paradubia*.

الیگوسترنیدها: *Pithonella trejoi*, *Pithonella perlonga*.

فرامینیفرهای بنتیک: *Daxia cenomana*, *Marsonella trochus*, *Minouxia sp.*, *Nezzazata sp.*, *Nezzazatinella picardi*, *Pseudolituonella reicheli*.

Rotalipora greenhornensis در این بیوزون، دو ساب زون توسط *Dicarinella algeriana* Subzone و *Subzone*

(Keller et al., 2003) معرفی شده است که این ساب زون‌ها در این برش شناسایی نشدند. از گونه‌های بنتیک مهم این بیوزون، *Daxia*

توضیع *cenomana* می‌باشد که از سنومانین میانی تا پسین

Cuvillier and Szakall (1949); Neumann (1965); Moreau (1996); Afghah et al. (2014); Omaña et al.

(2019) گزارش شده است و مؤید سن سنومانین میانی‌پسین برای این بیوزون می‌باشد. بیوزون فوق قابل قیاس با

Rotalipora Zone *cushmani* معرفی شده توسط Borsetti (1962); Caron (1985); Sliter (1989); Robaszynsky (1998); Luciani and Cobianchi (1999); Premoli Silva and Verga (2004); Ghanem and Kuss (2013); Coccioni and

Premoli Silva (2015) می‌باشد. سن این بیوزون با توجه موارد یاد شده و نیز بر اساس بیوزوناسیون‌های فوق، سنومانین میانی تا پسین می‌باشد.

Biozone No. 7- *Whiteinella archaeocretacea* Partial range Zone

Author: Bolli (1966) - Age: Latest Cenomanian to Early Turonian

سنگ‌شناسی این بیوزون از زیر به بالا شامل سنگ‌آهک‌های متوسط لایه با میان لایه‌های نازک، سنگ‌آهک ضخیم لایه و در نهایت سنگ‌آهک ضخیم لایه و توده‌ای بوده و ضخامت آن، ۲۶ متر می‌باشد. بیوزون یاد شده با انقراض گونه *Rotalipora cushmani* در نمونه MS-124 خاتمه می‌یابد. همان‌گونه که ذکر شد، گونه *Rotalipora* در نمونه MS-97 *Helvetoglobotruncana helvetica* در نمونه MS-99 در نمونه شماره MS-97 منقرض می‌شود و در نمونه *Whiteinella archaeocretacea* گونه MS-99 ظاهر Caron (1985); Sliter (1989); Robaszynsky (1998); Premoli Silva and Verga (2004) نیز به این نکته

میکروفسیل‌های شناسایی شده در این بیوزون، عبارت‌اند از:

Thalmanninella reicheli, *Rotalipora montsalvensis*, *Rotalipora sp.*, *Clavihedbergella moremani*, *Favusella washitensis*, *Heterohelix globulosa*, *Heterohelix moremani*, *Heterohelix reussi*, *Macroglobigerinelloides bentonensis*, *Macroglobigerinelloides sp.*, *Globigerinelloides bentonensis*, *Globigerinelloides sp.*, *Muricohedbergella delrioensis*, *Muricohedbergella planispira*, *Muricohedbergella rischi*, *Praeglobotruncana gibba*, *Whiteinella aprica*, *Whiteinella baltica*, *Whiteinella paradubia*, *Whiteinella praehelvetica*.

الیگوسترنیدها: *Stomiosphaera conoidea*, *Stomiosphaera sphaerica*, *Pithonella ovalis*.

فرامینیفرهای بنتیک: *Chrysalidina gradata*, *Lenticulina sp.*, *Minouxia sp.*, *Nezzazatinella picardi*, *Peneroplis turonicus*, *Pseudolituonella reicheli*.

این بیوزون قابل قیاس با بیوزون *Rotalipora reicheli Zone* می‌باشد که توسط Bolli (1966); Caron (1985); Sliter (1989); Robaszynsky (1998); Luciani and Cobianchi (1999); Premoli Silva and Verga (2004); Ogg and Ogg (2008); Ghanem and Kuss (2013); Coccioni and Premoli Silva (2015) معرفی شده است.

در مجموع با توجه به شواهد فوق، سن این بیوزون انتهای سنومانین پیشین تا ابتدای سنومانین میانی می‌باشد. گونه *Chrysalidina gradata* در انتهای این بیوزون (نمونه MS-82) ظاهر می‌شود. ظهر (Gušić et al. 1988; Fuček et al. 1990; Gušić and Jelaska, 1990; Velić and Vlahović, 1994; Husinec et al. 2000; Velić, 2007; Korbar et al. 2001; Ghanem et al. 2012; Piuz et al. 2014) و نشانگ شروع سنومانین میانی شروع می‌شود. بدیهی است از شروع بیوزون (MS-69) تا این نمونه، مربوط به انتهای سنومانین پیشین می‌باشد.

Biozone No. 6- *Rotalipora cushmani* Total range Zone

Author: Borsetti (1962) - Age: Middle to Late Cenomanian

مشابه بیوزون قبل، این بیوزون نیز در سنگ‌آهک‌های متوسط لایه با میان لایه‌های نازک مشاهده شده و ضخامت آن ۱۵ متر می‌باشد. این بیوزون شامل تمام محدوده ظهر تا افول گونه *Rotalipora* Total بوده (از نمونه MS-86 تا MS-97) و در واقع یک *cushmani* *Rotalipora* range Zone می‌باشد. اندکی پس از انقراض *Whiteinella archaeocretacea* در نمونه MS-97 گونه *cushmani* (Keller et al., 1999) ظاهر می‌شود. در انگلیس (Lamold et al., 1997, 2001) شمال اسپانیا (Luciani and Cobianchi, 1999) و شمال ایتالیا (Caron, 1985; Sliter, 1989; Robaszynsky, 1998; Premoli Silva and Verga, 2004)

ضخامت ساب زون یاد شده، در حدود ۹ متر است. این ساب زون در گروزنی، توسط Tur et al. (2001) نیز معرفی شده است. ساب زون *Dicarinella imbricata* فوق، قابل تطابق با دو ساب زون *Dicarinella hagni* در تورونین پیشین تونس می‌باشد که توسط Salaj (1996) معرفی شده‌اند.

Biozone No. 8- *Helvetoglobotruncana helvetica* Interval range Zone

Author: Dalhier (1955) - Age: Early Turonian-Middle Turonian

سنگ‌شناسی این بیوزون از زیر به بالا شامل سنگ‌آهک ضخیم لایه و توده‌ای، سنگ‌آهک ضخیم لایه و در نهایت سنگ‌آهک نازک لایه و سنگ‌آهک شیلی نازک لایه متورق می‌باشد. از نظر ضخامت، این بیوزون در میان سایر بیوزون‌ها، با ۶۶ متر، بیشترین گسترش را در طول ستون چینه‌شناسی دارد. بیوزون مذکور، از ظهور گونه *Helvetoglobotruncana helvetica* در نمونه MS-124 شروع شده و تا انتهای سازند، ادامه می‌یابد.

گونه‌های شناسایی شده در این بیوزون، به شرح زیر می‌باشند:

Helvetoglobotruncana helvetica, *Whiteinella archaeocretacea*, *Marginotruncana renzi*, *Dicarinella hagni*, *Dicarinella imbricata*, *Dicarinella* sp., *Heterohelix globulosa*, *Heterohelix reussi*, *Clavihedbergella simplex*, *Muricohedbergella delrioensis*, *Muricohedbergella planispira*, *Guembelitria cenomana*.

الیگوژترینیدهای *Pithonella ovalis*, *Pithonella sphaerica*.

Pithonella trejoi, *Stomiosphaera sphaerica*.

فرامینیفرهای بنتیک: *Moncharmontia appenninica*,

Nezzazatina sp., *Nezzazatinella picardi*,

Nummoloculina regularis, *Pseudolituonella reicheli*,

Spiroloculina cenomana, *Lenticulina* sp., Miliolid.

طبق تعریف، قاعدتاً در بالای این بیوزون باید گونه‌های

Dicarinella primitive و *Marginotruncana sigali* متعلق به تورونین پسین هستند، حضور داشته باشند. در این برش، به

دلیل خاتمه رسوب‌گذاری سازند سروک در انتهای این بیوزون، خروج از

آب و به تبع آن ناپیوستگی میان این سازند و سازند گورپی، این گونه‌ها

مشاهده نشدنند. این بیوزون قابل مطابق به بیوزون

Helvetoglobotruncana helvetica Zone

Dalhier (1955); Caron (1985); Sliter (1989);

Luciani and Cobianchi (1999); Premoli Silva and

Verga (2004); Ogg and Ogg (2008); Ghanem and

Kuss (2013); Coccioni and Premoli Silva (2015);

Huber et al. (2017) معرفی شده است. با توجه به گونه‌های ذکر

شده، سن این بیوزون، تورونین پیشین - میانی می‌باشد.

اشاره دارند که اندکی پس از انقراض *Rotalipora cushmani* گونه *Whiteinella archaeocretacea* ظاهر می‌شود.

در این بیوزون، نوع گونه‌ای اندک است. گونه‌های شناسایی شده در آن، عبارت اند از:

فرامینیفرهای پلانکتون: *Whiteinella archaeocretacea*, *Whiteinella baltica*, *Whiteinella paradubia*, *Whiteinella praehelvetica*, *Macroglobigerinelloides bentonensis*, *Praeglobotruncana gibba*, *Dicarinella hagni*, *Marginotruncana renzi*, *Guembelitria cenomana*.

الیگوژترینیدهای *Pithonella ovalis*:

فرامینیفرهای بنتیک: *Pseudolituonella reicheli*, *Nezzazatinella picardi*, *Lenticulina* sp., *Nezzazata gyra*.

این بیوزون با *Whiteinella archaeocretacea* Zone که Bolli (1966); Caron (1985); Sliter (1989); Robaszynsky (1998); Luciani and Cobianchi (1999); Premoli Silva and Verga (2004); Ghanem and Kuss (2013); Coccioni and Premoli Silva (2015); Ogg et al. (2016); Huber et al. (2017) است. با توجه به موارد یاد شده، سن این بیوزون انتهای س NOMANIN پسین تا ابتدای تورونین پیشین می‌باشد.

Wonders (1980) مرز س NOMANIN - تورونین را در قاعده این (Caron, 1985; Robaszynski and Caron, 1995; Robaszynski, 1998; Caron et al., 2006) این مرز را درون این بیوزون تعریف می‌کنند. در این پژوهش، جهت تفکیک این مرز، برای اولین بار در زاگرس، دو ساب زون زیر معرفی شوند:

Biozone No. 7-2- *Whiteinella archaeocretacea* Interval subzone

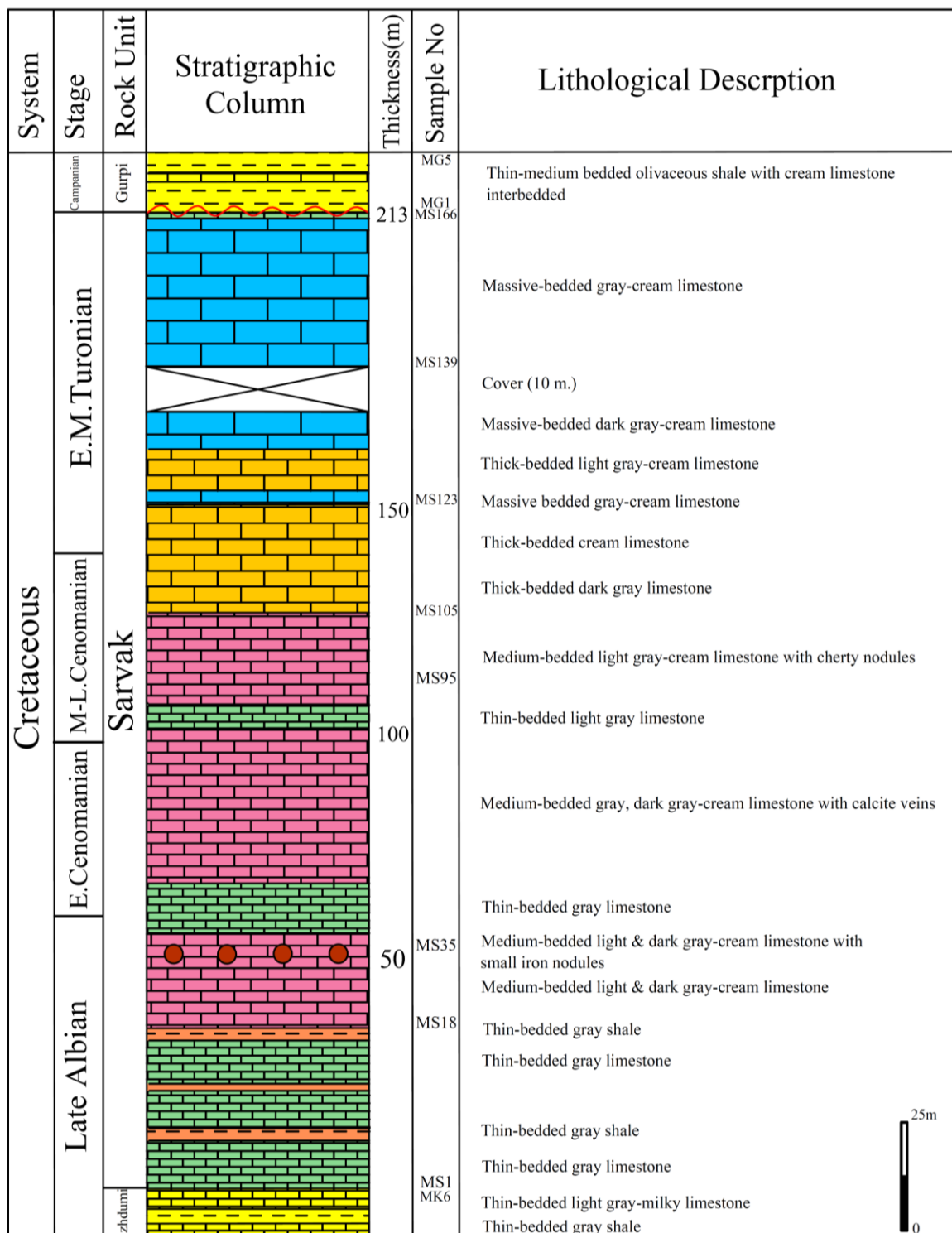
Author: Tur et al. (2001) - Age: Latest Cenomanian MS- در نمونه شماره

MS-114 در نمونه *Dicarinella hagni* 97 شروع و تا اولین ظهور ادامه داشته و سنی معادل انتهای س NOMANIN پسین دارد. ضخامت این ساب زون در حدود ۱۷ متر است. این ساب زون در گروزنی، توسط Tur et al. (2001) نیز معرفی شده است. این ساب زون معادل Salaj (1996) در انتهایی ترین بخش س NOMANIN در تونس معرفی شده است.

Biozone No. 7-2- *Dicarinella hagni* Interval subzone

Author: Tur et al. (2001) - Age: Early Turonian MS- در نمونه *Dicarinella hagni* تا اولین

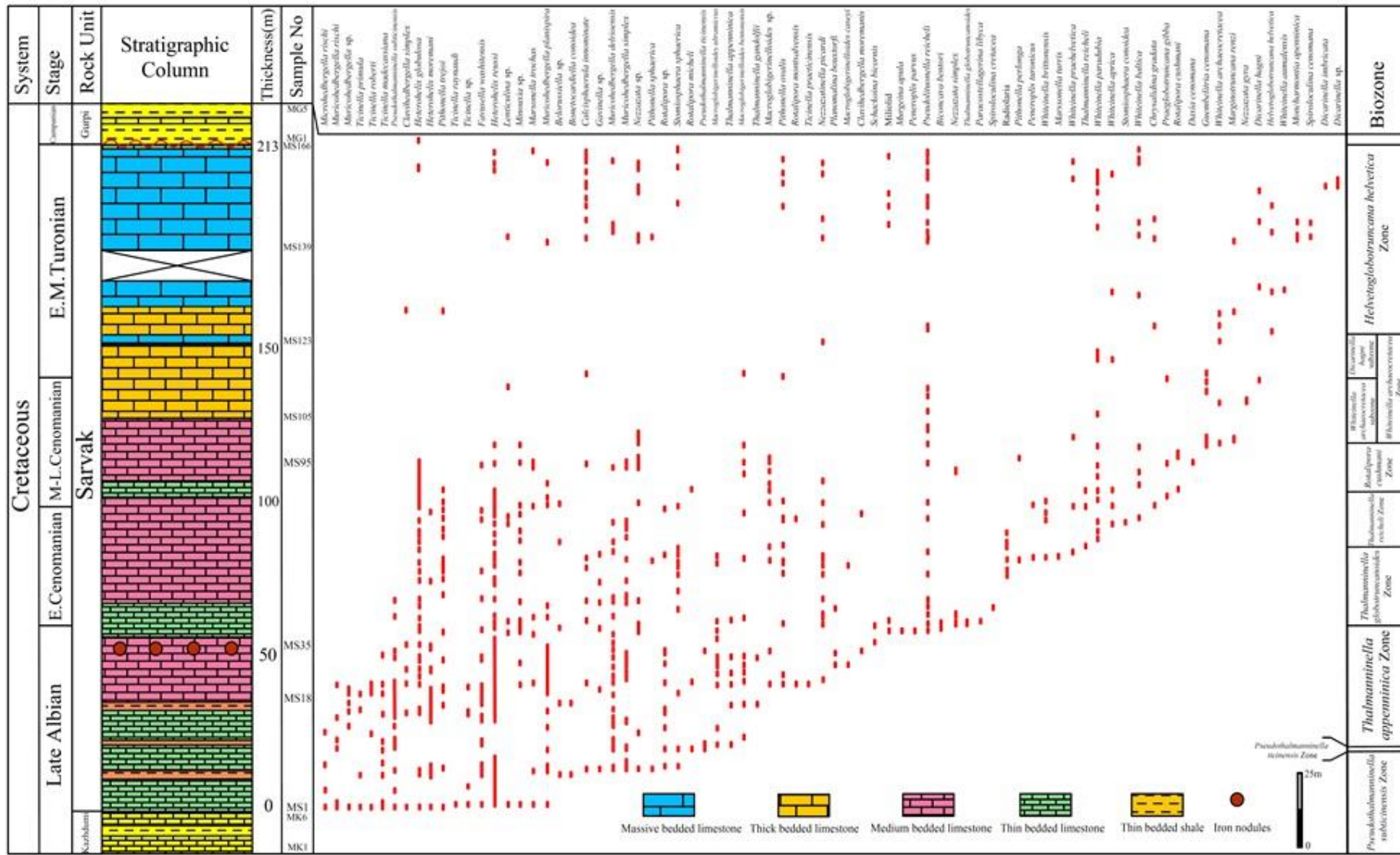
حضور MS-124 در *Helvetoglobotruncana helvetica* را شامل می‌شود و نشانگر ابتدایی ترین لایه‌های تورونین پیشین است.



Massive bedded limestone Thick bedded limestone Medium bedded limestone Thin bedded limestone Thin bedded shale Iron nodules

شکل ۴- ستون سنگ چینه نگاری سازند سروک در برش مارین.

Fig. 4. Lithostratigraphy column of Sarvak Formation in Marin section.



شکل ۵- ستون زیست چینه‌ای سازند سروک در برش مارین.

Fig. 5. Microbiostratigraphy column of Sarvak Formation in Marin section.

Whiteinella archaeocretacea Partial range Zone (*Whiteinella archaeocretacea* interval subzone) بالای بیوزون تورونین پیشین با بخش *Whiteinella archaeocretacea* Partial range (*Dicarinella hagni* interval subzone) و بخش زیرین *Helvetoglobotruncana helvetica* Interval range بیوزون و تورونین پسین با بخش *Helvetoglobotruncana helvetica* Interval range مشخص می‌شود (جدول ۱).

در مجموع، سن سازند سروک در برش مارین، آلبین پسین تا تورونین میانی می‌باشد. در فارس، سن این سازند در برش‌های بوان (Afghah and Fadaei, 2015)، سنومانین پسین، در برش ارسنجان (Afghah et al., 2014)، آلبین پسین - سنومانین پیشین و در برش‌های خرامه (Afghah and Fadaei, 2015)، درودزن، (Afghah et al., 2014) سمقان و نورآباد، (Afghah et al., 2014)، سنومانین می‌باشد. سن این سازند در میدان‌های نفتی اهواز، رگ سفید، آب تیمور و گچساران، (Omidvar et al., 2014) سن سازند سروک در زون ایده، در کوه بنگستان (Khosrow Tehrani and Fonooni, 1994) آلبین پسین - سنومانین گزارش شده است. در برش‌های باولک و چناریاشی در کبیرکوه پهنه لرستان (Daneshian et al., 2015)، سن این سازند آلبین میانی تا سنومانین می‌باشد.

دلیل این تغییرات سنی و نیز تنوع فسیلی، عملکرد گسل‌های موجود در مناطق یادشده است (مانند گسل‌های قطر - کازرون، زاگرس، فربویار دزفول، نظام آباد در فارس داخلی، گسل‌های هندیجان - بهرگانسر، فربویار دزفول، Motiei et al., 1995; Sepehr and Cosgrove (2004); Sherkati and Letouzey (2004) اظهار می‌دارند تحرکات گسل‌های زاگرس در کرتاسه میانی ایده، پیش بوم زاگرس و بالارود در خوزستان). این تغییرات سبب تنوع ضخامت، رخساره و سن سازندهای مختلف شده است. این حرکات منجر به تغییر عمق حوضه رسوی در برش‌های مختلف شده که به تبع آن، شرایط پالئواکولوژیکی نیز تغییر پیدا کرده و پراکنش گونه‌ها نیز دستخوش تفاوت‌هایی شده است.

نتیجه‌گیری

در این مطالعه، حدود ۲۱۳ متر از رسوبات سازند سروک در برش مارین، واقع در یال جنوبی تاقدیس خامی در حوضه زاگرس، مورد بررسی قرار گرفت. سازند سروک در این برش با مرزی تدریجی و پیوسته، روی سازند کژدمی و با مرزی ناپیوسته، زیر سازند گورپی قرار گرفته است. بر اساس گونه‌های شناسایی شده، ۸ بیوزون و ۲ ساب زون شناسایی شدند که با توجه فونای موجود، محدوده سنی سازند سروک، آلبین پسین تا تورونین میانی پیشنهاد می‌شود. در برش مارین، تنوع گونه‌ای در میان فرامینیفرهای پلانکتون بسیار زیاد بود. این مسئله نشانگر نسبت بسیار بالای فرامینیفرهای پلانکتونیک به بنتونیک (P/B ratio) می‌باشد که به نوبه‌ی خود بیانگر محیط رسوی عمیق برای برش

بحث

در این برش، مرز زیرین سازند سروک، با سازند کژدمی به صورت پیوسته و تدریجی و مرز فوقانی سروک با گورپی، به صورت ناپیوسته می‌باشد. در کوه بنگستان، (Khosrow Tehrani and Fonooni, 1994)، در یال‌های شمالی و جنوبی کوه میش و در تاقدیس آنه (Asadi Mehmandost et al., 2013) که همگی در زون ایده قرار گرفته، مرز زیرین سروک، با کژدمی پیوسته و مرز فوقانی آن، با گورپی، ناپیوسته گزارش شده است. مرز فوقانی سازند سروک در برخی مناطق متفاوت می‌باشد، برای مثال در برش یال جنوبی منگشت (Zargar Moradi, 2014)، تنگ بولفارس و تنگ دوزخ (Ghabeishavi, 2008) در زون ایده و در برش درودزن (Afghah et al., 2014) واقع در فارس، سازند ایلام به صورت ناپیوسته روی سازند سروک قرار گرفته است.

ضخامت این سازند در برش خامی ۲۱۳/۲ متر می‌باشد. سازند سروک در زاگرس و خصوصاً در زون ایده، دارای تغییرات ضخامت و رخساره‌ی فراوانی است. برای مثال در کوه بنگستان، ضخامت سازند سروک برابر ۸۳۰ متر (Khosrow Tehrani and Fonooni, 1994)، در یال شمالی کوه منگشت (Asadi Mehmandost et al., 2013) در یال جنوبی کوه منگشت، ۶۴۸ متر (Zargar Moradi, 2014)، در یال شمالی کوه میش، ۲۵۲ متر (Asadi Mehmandost et al., 2013) در یال جنوبی کوه میش ۳۴۸ متر (Asadi Mehmandost et al., 2013) و در تاقدیس آنه، ۲۴۵ متر (Asadi Mehmandost et al., 2013) می‌باشد. این تغییر ضخامت در زون ایده توسط Motiei (1995); Sepehr and Cosgrove (2004); Sherkati and Letouzey (2004); Molinaro et al. (2005); Sherkati et al. (2005); Farzipour saein et al. (2009a); Farzipour saein et al. (2009b) این نیز ذکر شده است. این تغییرات ناشی از گسل‌های بی‌سنگی موجود در زون ایده (مانند گسل‌های هندیجان- ایده) می‌باشد. به باور (Sherkati and Letouzey 2004) و با توجه به اطلاعات موجود از تغییرات ستبر و رخساره سازندهای مختلف در راستای این گسل، کهن‌ترین فعالیت پهنه گسلی ایده مربوط به زمان آلبین - سنومانین بوده است.

آلبین پسین در برش مارین، با سه بیوزون *Pseudothalassinella subticinensis* Partial range *Pseudothalassinella ticinensis* Interval Zone و سنومانین *Thalassinella appenninica* Interval Zone پیشین با بیوزون *Rotalipora globotruncanoides* Interval و بخش زیرین بیوزون *Thalassinella reicheli* Total Zone مشخص می‌شود. سنومانین میانی در این برش با بخش *Thalassinella reicheli* Total range Zone *Rotalipora cushmani* Total range Zone و *Rotalipora cushmani* Total سنومانین پسین با بخش بالای

گونه‌ای بسیار زیادی با برش‌های ایلام مانند تنگ باولک و چناریاشی در کبیرکوه دارد. در این برش، رسوب‌گذاری این سازند، نسبت به سایر برش‌های زون اینده، زودتر شروع شده و دیرتر خاتمه یافته است. علاوه بر این ضخامت سازند، کمتر از برش‌های دیگر می‌باشد. دلیل این تغییرات، عملکرد گسل‌های موجود در مناطق یاد شده می‌باشد که در کرتاسه میانی سبب تنویر ضخامت، رخساره و سن این سازند شده است.

مارین می‌باشد. در حالی که در برخی برش‌های زون اینده مانند برش کوه بنگستان و برش پیون و برخی برش‌های فارس داخلی مانند کوه زنا، این نسبت پایین بوده، فرامینیفرهای بنتیک بیشتر هستند و حوضه، کم‌عمق‌تر می‌باشد. نبود جلبک‌های آهکی و Alveolinids، Orbitolinids ها از ویژگی‌های باز این برش می‌باشد. در مجموع از منظر زیست چینه نگاری، سازند سروک در این برش شباهت سنی و

		Biozonation		Permoli Silva & Verga (2005)	Sliter (1999)	Robaszynski and Caron (1995)	Caron (1985)	Postuma (1971)	This Study	
Age		Early	Late						Marin	
93.9 m.y.	Turonian									
	Early	Middle	Late	<i>R.cushmani</i>	<i>H.helvetica</i>	<i>H.helvetica</i>	<i>H.helvetica</i>	<i>H.helvetica</i>	<i>H.helvetica</i>	<i>H.helvetica</i>
100.5 m.y.	Cenomanian			<i>D.algeriana</i>	<i>W.archaeocretacea</i>	<i>W.archaeocretacea</i>	<i>W.archaeocretacea</i>	<i>W.archaeocretacea</i>	<i>W.archaeocretacea</i>	<i>W.archaeocretacea</i>
	Early	Middle	Late	<i>R.cushmani</i>	<i>R.cushmani</i>	<i>R.cushmani</i>	<i>R.cushmani</i>	<i>R.cushmani</i>	<i>R.cushmani</i>	<i>R.cushmani</i>
Late Albian	<i>Biticinella breggiensis</i>			<i>R.reicheli</i>	<i>R.brotzeni</i>	<i>R.reicheli</i>	<i>R.reicheli</i>	<i>R.appenninica</i>	<i>R.reicheli</i>	<i>R.reicheli</i>
	<i>T.practicinensis</i>	<i>R.subticinensis</i>		<i>R.globotruncanoides</i>	<i>R.appenninica</i>	<i>R.globotruncanoides</i>	<i>R.brotzeni</i>	<i>P.buxtorfi</i>	<i>R.globotruncanoides</i>	<i>R.globotruncanoides</i>
	<i>Biticinella breggiensis</i>			<i>R.appenninica</i>	<i>R.appenninica</i>	<i>R.ticinensis</i>	<i>R.ticinensis</i>	<i>Biticinella breggiensis</i>	<i>R.appenninica</i>	<i>R.appenninica</i>
	<i>T.practicinensis</i>	<i>R.subticinensis</i>		<i>R.subticinensis</i>	<i>R.subticinensis</i>	<i>R.subticinensis</i>	<i>R.subticinensis</i>	<i>R.subticinensis</i>	<i>R.ticinensis</i>	<i>R.ticinensis</i>
	<i>Biticinella breggiensis</i>			<i>T.practicinensis</i>	<i>Biticinella breggiensis</i>	<i>Biticinella breggiensis</i>	<i>Biticinella breggiensis</i>	<i>Biticinella breggiensis</i>	<i>R.subticinensis</i>	<i>R.subticinensis</i>
	<i>T.practicinensis</i>	<i>R.subticinensis</i>								

جدول ۱ - مقایسه بیوزون‌های شناسایی شده در برش مارین با بیوزوناسیون استاندارد فرامینیفرهای پلانکتون در جهان

Table. 1. Correlation of biostratigraphic zones from the Marin section with standard planktonic foraminiferal biozonation.

Plate 1

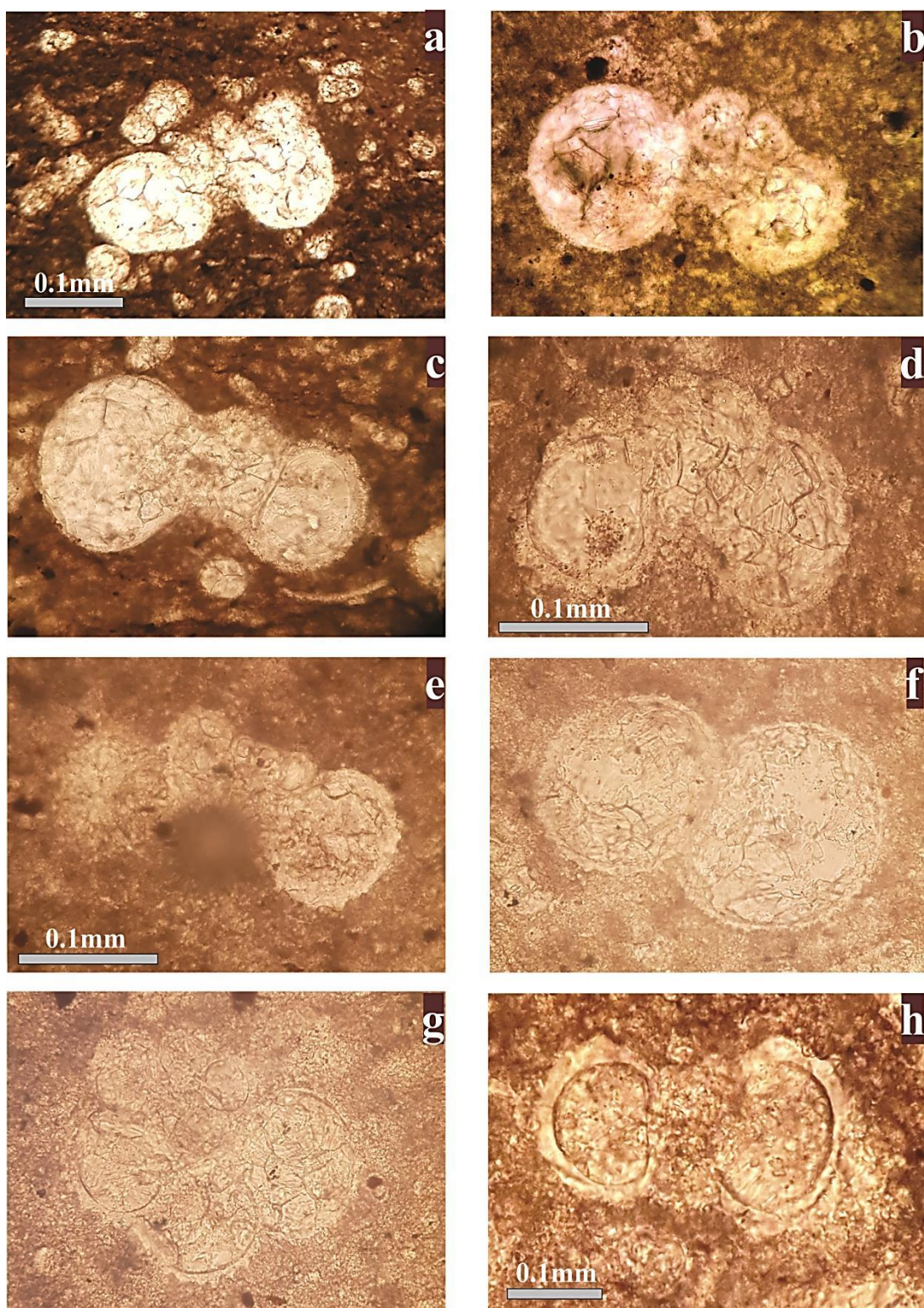


Plate 1: (a) *Ticinella praeticinensis*, axial section, sample: MS-21, (b) *Ticinella madecassiana*, axial section, sample: MS-2, (c) *Ticinella madecassiana*, axial section, sample: MS-21, (d) *Ticinella roberti*, axial section, sample: MS-19, (e) *Ticinella primula*, axial section, sample: MS-17, (f) *Favusella washitensis*, sub axial section, sample: MS-11, (g) *Favusella washitensis*, equatorial section, sample: MS-31, and (h) *Paracostellagerina libyca*, axial section, sample: MS-43.

Plate 2

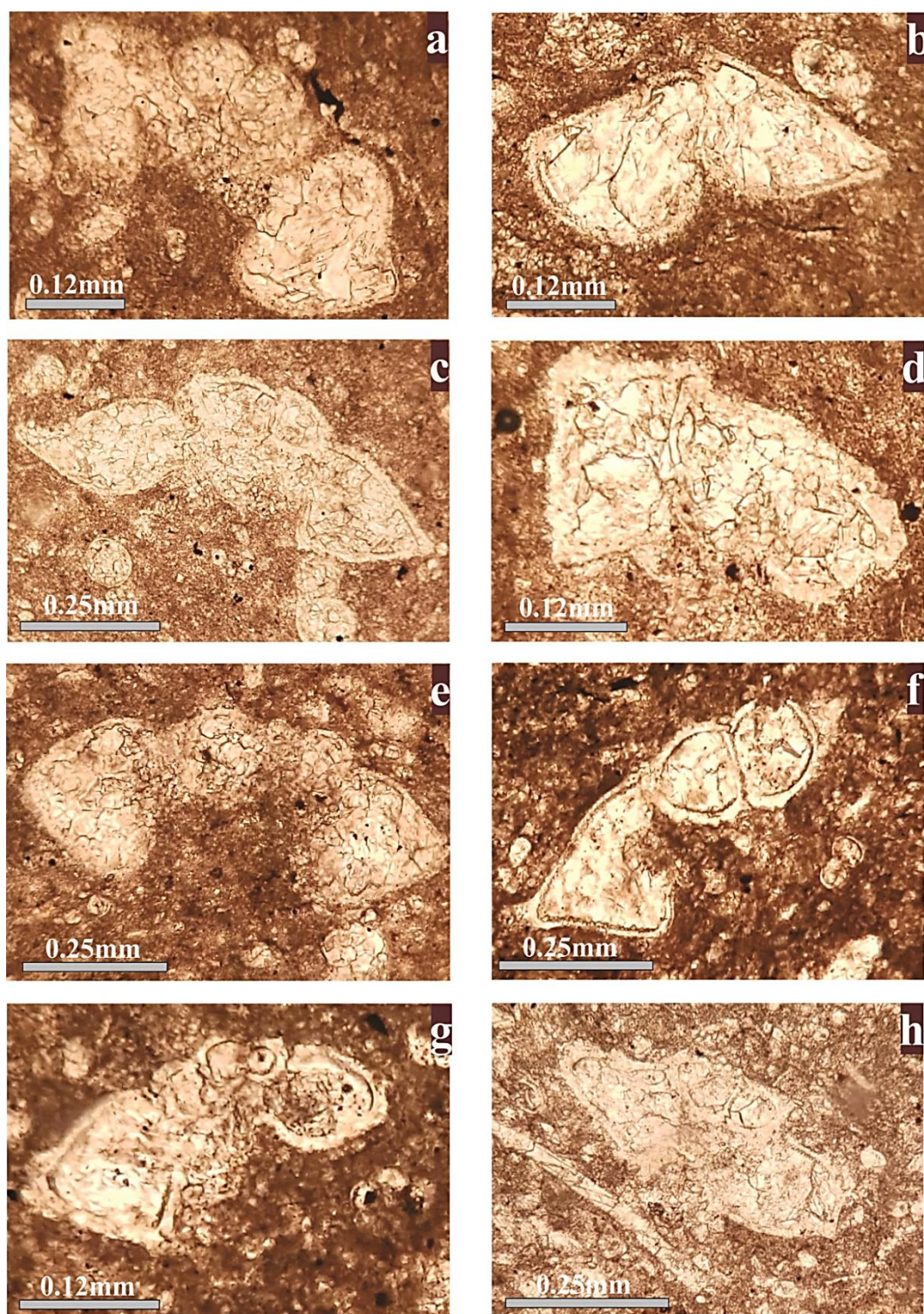


Plate 2- (a) *Pseudothalmanninella ticina*, axial section, sample: MS-33, (b) *Rotalipora micheli*, section, axial sample: MS-9, (c) *Thalmanninella appenninica*, axial section, sample: MS-10 (d) *Thalmanninella gandolfii*, axial section, sample: MS-17, (e) *Pseudothalmanninella subticinensis*, axial section, sample: MS-34, (f) *Thalmanninella globotruncanoides*, axial section, sample: MS-43, (g) *Pseudothalmanninella subticinensis*, axial section, sample: MS-49, (h) *Rotaliapra cushmani*, axial section, sample: MS-97.

Plate 3

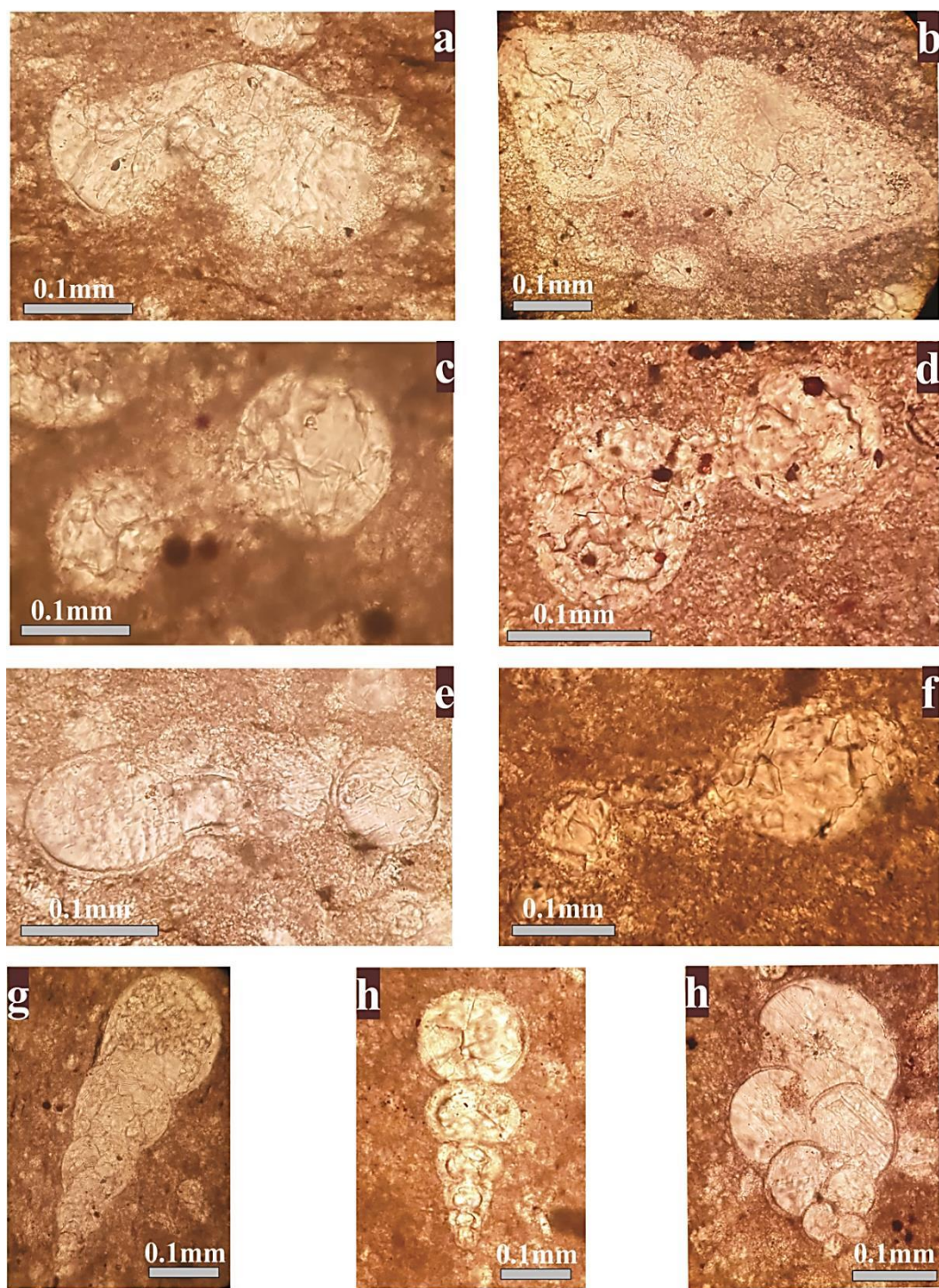


Plate 3- (a) *Rotalipora montsalvensis*, sub axial section, sample: MS-21, (b) *Thalmanninella reicheli*, axial section, sample: MS-69, (c) *Macroglobigerinelloides ultramicrus*, axial section, sample: MS-13, (d) *Macroglobigerinelloides ultramicrus*, axial section, sample: MS-35, (e) *Macroglobigerinelloides caseyi*, axial section, sample: MS-61, (f) *Planomalina bouxtorfi*, axial section, sample: MS-28, (g) *Heterohelix reussi*, transversal section, sample: MS-7, (h) *Heterohelix moremani*, transversal section, sample: MS-19, and (i) *Heterohelix globulosa*, transversal section, sample: MS-49.

Plate 4

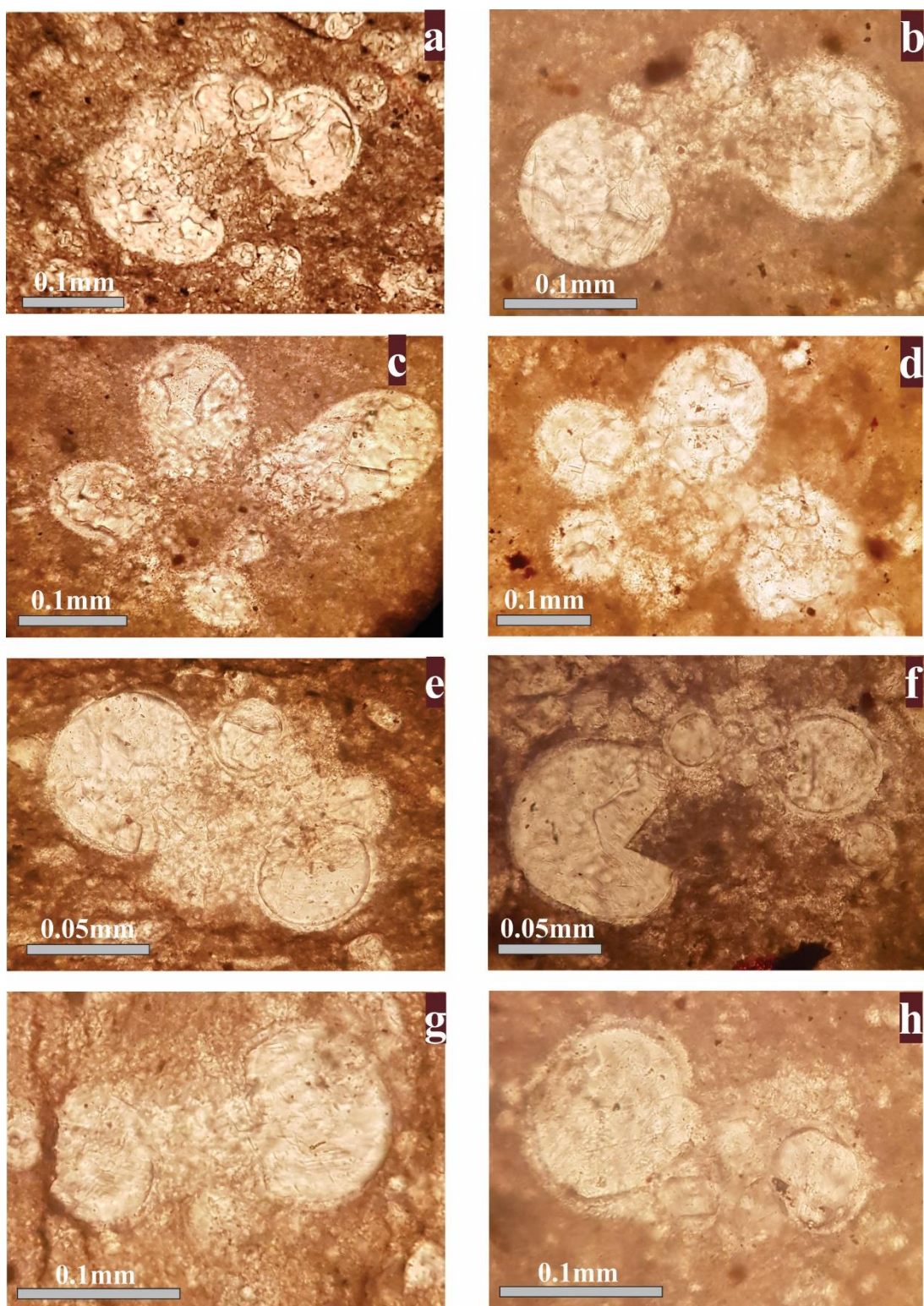


Plate 4- (a) *Muricohedbergella rischi*, axial section, sample: MS-7, (b) *Muricohedbergella delrioensis*, axial section, sample: MS-25, (c) *Muricohedbergella simplex*, equatorial section, sample: MS-23, (d) *Muricohedbergella simplex*, equatorial section, sample: MS-7, (e) *Muricohedbergella planispira*, axial section, sample: MS-21, (f) *Muricohedbergella planispira*, axial section, sample: MS-43, (g) *Globigerinelloides bentonensis*, axial section, sample: MS-22, and (h) *Globigerinelloides bentonensis*, axial section, sample: MS-116.

Plate 5

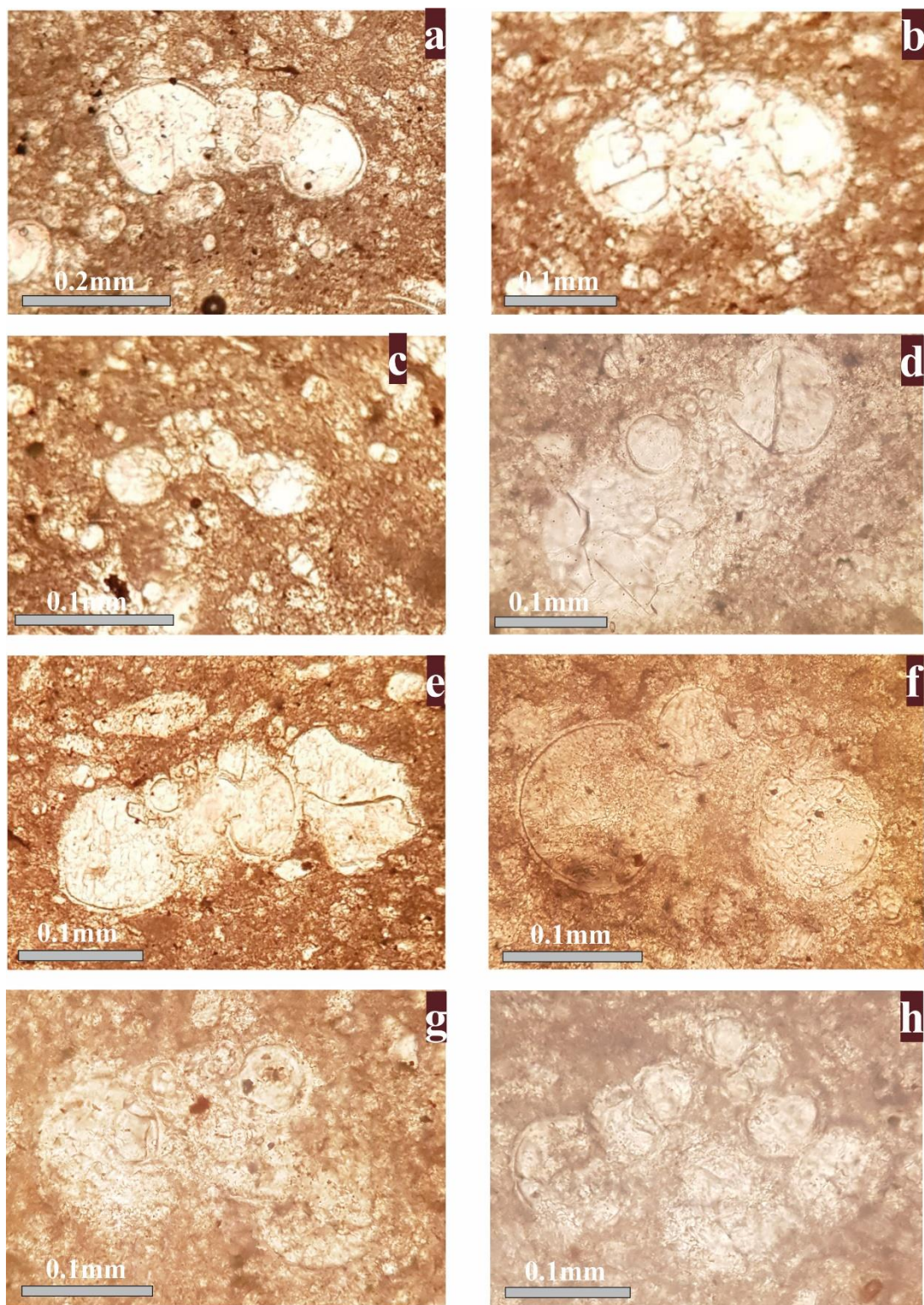


Plate 5- (a) *Whiteinella aprica*, axial section, sample: MS-86, (b) *Whiteinella aumalensis*, axial section, sample: MS-136, (c) *Whiteinella archaeocretacea*, axial section, sample: MS-126, (d) *Whiteinella baltica*, axial section, sample: MS-77, (e) *Whiteinella praehelvetica*, axial section, sample: MS-101, (f) *Whiteinella praehelvetica*, axial section, sample: MS-81, (g) *Whiteinella paradubia*, axial section, sample: MS-76, and (h) *Whiteinella brittonensis*, axial section, sample: MS-76

Plate 6

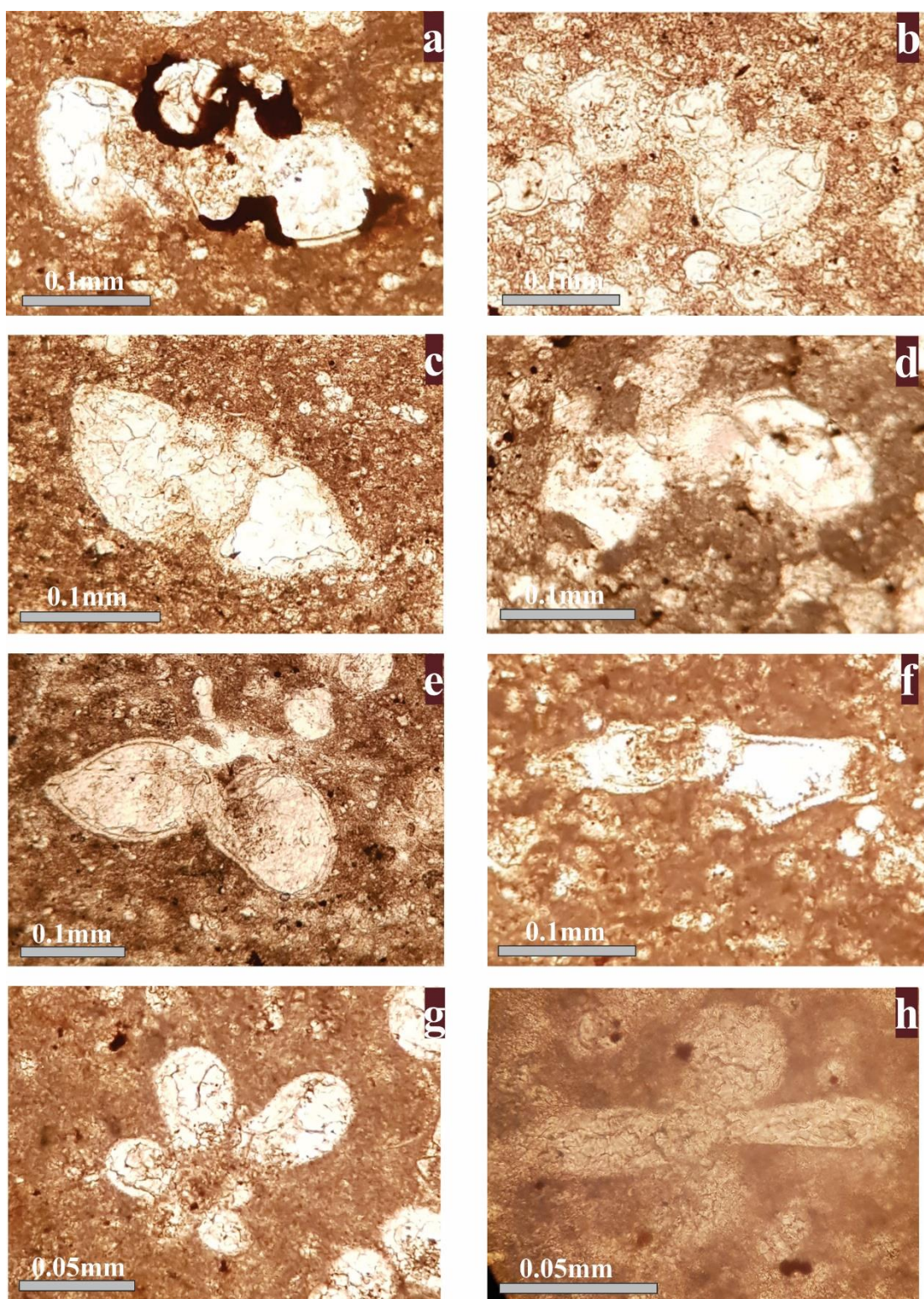


Plate 6- (a) *Helvetoglobotruncana helvetica*, axial section, sample: MS-136, (b) *Helvetoglobotruncana helvetica*, axial section, sample: MS-124, (c) *Dicarinella hagni*, axial section, sample: MS-137, (d) *Dicarinella imbricate*, axial section, sample: MS-155, (e) *Praeglobotruncana gibba*, sub axial section, sample: MS-114, (f) *Marginotruncana renzi*, axial section, sample: MS-102, (g) *Clavihedbergella simplex*, equatorial section, sample: MS-23, and (h) *Clavihedbergella moremani*, sub equatorial section, sample: MS-34.

Plate 7

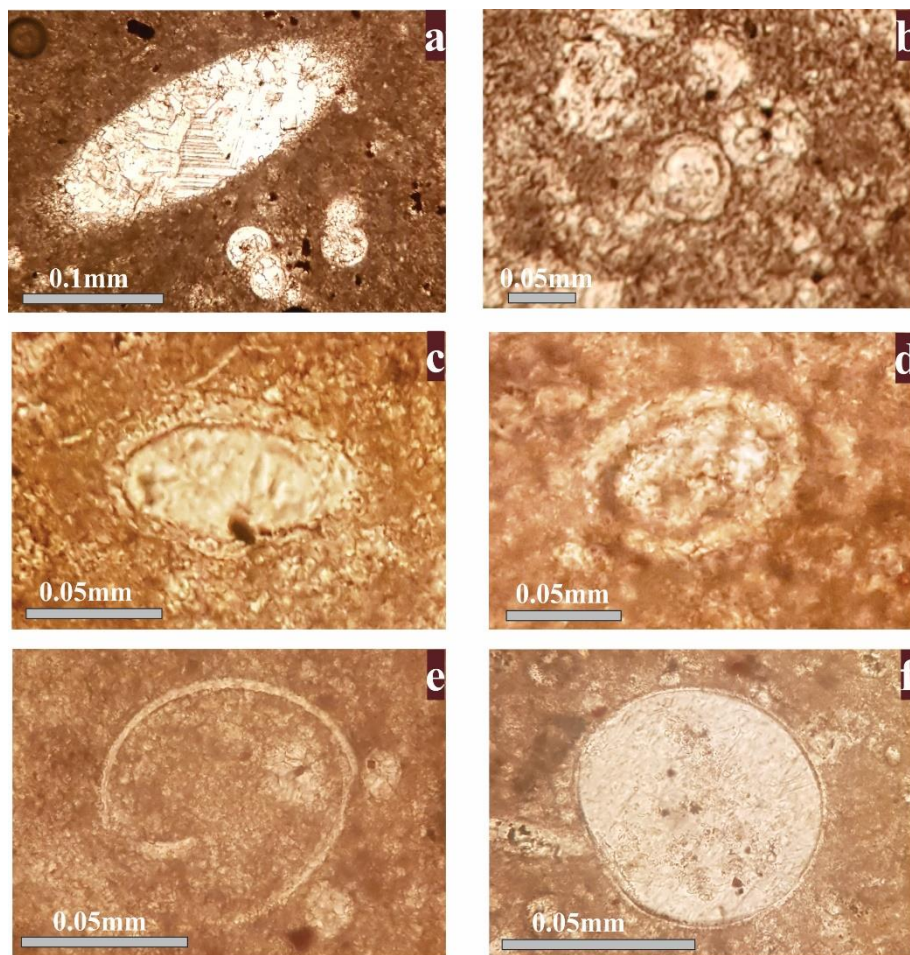


Plate 7- (a) *Pithonella trejoi*, axial section, sample: MS-38, (b) *Pithonella sphaerica*, equatorial section, sample: MS-6, (c) *Pithonella perlonga*, axial section, sample: MS-63, (d) *Pithonella ovalis*, section, axial sample: MS-58, (e) *Bonetocardiella conoidea*, equatorial section, sample: MS-17, and (f) *Stomiosphaera sphaerica*, equatorial section, sample: MS-63

منابع

- Adams, T.D., Khalili, M., Khosravi Said, A., 1967. Stratigraphic significance of some oligosteginids from Lurestan province; Palaeontological Department. Iranian Oil Operating Company 13(1), 55-67.
- Afghah, M., Ahmadi, V., Damori, GH., 2011. Biostratigraphy of Sarvak Formation in Arsanjan and Doshman ziyari sections, First National Geology and Mining Exploration Symposium, Shiraz, pp. 1-7.
- Afghah, M., Dehghanian, M.S., 2007. Qualitative and quantitative study of the microfacies of the Sarvak Formation Kuh-e Khane-Kat and Kuh-e Shah-Neshin Sections in Fars province. Journal of Applied Geology 3(1), 7-16.
- Afghah, M., Fadaei, H.R., 2015. Biostratigraphy of Cenomanian succession in Zagros area (southwest of Iran). Geosciences Journal 19(2), 257-271.
- Afghah, M., Yousefzadeh, A., Shirdel, S., 2014. Biostratigraphic Revision of Middle Cretaceous Succession in South Zagros Basin (SW of Iran). Journal of Earth Science & Climatic Change 5, 1-10.
- Alavi, M., 2004. Regional stratigraphy of the Zagros fold-and-thrust belt of Iran and its proforland evolution. American Journal of Science 304, 1–20.
- Asadi Mehandosti, E., Adabi, M.H., Woods, A.D., 2013. Microfacies and geochemistry of the Middle Cretaceous Sarvak Formation in Zagros Basin, Izeh Zone, SW Iran. Sedimentary Geology 293, 9-20.

- Berberian, M., 1995. Master “blind” thrust faults hidden under the Zagros folds: active basement tectonics and surface morphotectonics. *Tectonophysics* 241, 193–224.
- Bolli, H.M., 1966. Zonation of Cretaceous to Pliocene marine sediments based on Planktonic foraminifera. *Boletín informativo dela Asociacion Venezolanade Geología, Minerfay Petroleo* 9, 1-34.
- Borsetti, A.M., 1962. Foraminiferi planctonici di una serie cretacea dei Dintorni di Piobbico (Prov. di Pesaro). *G. Geol. Ser.* 29, 19-75.
- Bralower, T.J., Fullagar, P.D., Paull, C.K., Dwyer, G.S., Leckie, R.M., 1997. Mid-Cretaceous strontium-isotope stratigraphy of deep-sea sections, *Geological Society of America Bulletin* 109, 1421-1442.
- Bronnimann, P., 1952. Globigerinidae from the upper Cretaceous (Cenomanian- Maestrichtian) of Trinidad, B.W.I. *Bulletin of America Paleontology* 34, 5-71.
- Bronnimann, P., 1952. Globigerinidae from the upper Cretaceous (Cenomanian-Maestrichtian) of Trinidad, B, W, I. *Bulletin of America Paleontology* 34, 5-71.
- Caron, M., 1985. Cretaceous planktic foraminifers. In Bolli, H. M., Saunders, J. B., and Perch-Nielsen, K. (Eds.), *Plankton Stratigraphy*: Cambridge (Cambridge Univ. Press), pp. 17-86.
- Coccioni, R., Premoli Silva, I., 2015. Revised Upper Albian–Maastrichtian planktonic foraminiferal biostratigraphy and magneto-stratigraphy of the classical Tethyan Gubbio section (Italy). *Newsletter Stratigraphy* 48, 47–90.
- Dalhier, F. 1955. The genus *Globotruncana* in Tunisia. *Micropaleontology* 1, 61-71.
- Daneshaiyan, J., Younesi, K., Azad, A., Moallemi, S.A., 2015. Planktonic Foraminiferal biostratigraphy of middle Albian to cenomaina strata in Kabir Kuh Anticline, Southeast of Iran. *Geoscience* 24(94), 155-164.
- Dias-Brito, D., 2000. Global stratigraphy, palaeobiogeography and palaeo- ecology of Albian – Maastrichtian pithonellid calcispheres: Impact on Tethys configuration. *Cretaceous Research* 21, 315-349.
- Farhudi, G., 1978. A comparison of Zagros geology to island arcs. *The Journal of Geology* 86, 323-334.
- Farzipour saein, A., Yassagi, A., Sherkati, S., Koyi, H., 2009a. Basin evolution of the Lurestan region in the zagros fold-and-thrust belt, Iran. *Journal of Petroleum Geology* 36, 5-20.
- Farzipour saein, A., Yassagi, A., Sherkati, S., Koyi, H., 2009b. Mechanical stratigraphy and folding style of the Lurestan region in the Zagros Fold-Thrust Belt, Iran. *Journal of Geological Society* 166, 1101-1115.
- Fućek, L., Gušić, I., Jelaska, V., Korolija, B., Oštarić, N., 1990. Stratigrafija gornjokrednih naslaga jugoistočnog dijela Dugog otoka i njihova korelacija s istovremenim naslagama otoka Brača (Upper Cretaceous stratigraphy of the SE part of the Dugi otok Island and its correlation with the corresponding deposits of the Brač Island, Adriatic Carbonate Platform), *Geology Vjesnik* 43, 23–33.
- Ghabeishavi, A., 2008. Stratigraphy of Sarvak Formation in Bangestan anticline and Parsi oilfield, Thesis, University of Isfahan, Iran, 223p.
- Ghanem, H., Kuss, J., 2013. Stratigraphic control of the Aptian–early Turonian sequences of the Levant, coastal range northwest Syria. *GeoArabia* 18(4), 85–132.
- Ghanem, H., Mouty, M., Kuss, J., 2012. Biostratigraphy and carbon-isotope stratigraphy of the uppermost Aptian to upper Cenomanian strata of the south Palmyrides, Syria. *GeoArabia* 17(2), 155–184.
- Gušić, I., Jelaska, V., 1990. Stratigrafija gornnokrednih naslaga otoka Braca – Upper Cretaceous stratigraphy of the Island of Brac, Jugoslavenska akademija znanosti I umjetnosti 69, 160p.
- Gušić, I., Jelaska, V., Velic, I., 1988. Foraminiferal assemblages, facies, and environments in the Upper Cretaceous of the Island of Brac, Yugoslavia. *Revue de Paléobiologie Special 2 (Benthos '86)*, pp. 447-456.
- Hardenbol, J., Thierry, J., Farley, M.B., Jacquin, T., de Graciansky, P.C., Vail, P., 1998. Mesozoic and Cenozoic sequence chronostratigraphic framework of European Basins, in P.C. Graciansky, et al. (eds) *Mesozoic and Cenozoic sequence stratigraphy of European basins*, SEPM Special Publication 60, 3-13.
- Huber, B.T., Petrizzo, M.R., Watkins, D.K., Haynes, S.J., MacLeod, K.G., 2017. Correlation of Turonian continental margin and deep-sea sequences in the subtropical Indian Ocean sediments by integrated planktonic foraminiferal and calcareous nannofossil biostratigraphy. *Newsletter Stratigraphy* 50, 141–185.
- Husinec, A., Velić, I., Fućek, L., Vlahović, I., Maticeč, D., Oštarić, N., Korbar, T., 2000. Mid-Cretaceous orbitolinid (Foraminiferida) record from the islands of Cres and Lošinj (Croatia) and its regional stratigraphic correlation. *Cretaceous Research* 21(1), 155–171.
- James, G.A., Wynd, J.G., 1965. Stratigraphic nomenclature of Iranian oil consortium agreement area. *American Association of Petroleum Geologists Bulletin*, 49, 2182–2245.
- Keller, G., Han, Q., Adatte, T., Burns, S., 2001. Paleoenvironment of the Cenomanian-Turonian transition at Eastbourne, England. *Cretaceous Research* 22, 391–422.
- Keller, G., Pardo, A., 2003. Age and paleoenvironment of the Cenomanian–Turonian global stratotype section and point at Pueblo, Colorado. *Marine Micro-Paleontology* 51, 95-128.

- Kennedy, W.J., Gale, A.S., Lees, J.A., Caron, M., 2004. The Global Boundary Stratotype Section and Point (GSSP) for the base of the Cenomanian Stage, Mont Risou, Hautes-Alpes, France. Institut de Géologie, Université de Fribourg.
- Khosrow Tehrani, K., Fonooni, B., 1994. New Investigations in Microbiostratigraphy of Sarvak formation in Fars and Khuzestan region. Geological Survey of Iran. Geoscience Journal 3, 2–15.
- Korbar, T., Fuček, L., Husinec, A., Vlahović, I., Oštrić, N., Matičec, D., Jelaska, V., 2001. Cenomanian carbonate facies and rudists along shallow intraplatform basin margin – the island of Cres (Adriatic Sea, Croatia). Facies 45, 39–58.
- Lamolda, M.A., Gorostidi, A., Martinez, R., Lopez, G., Peryt, D., 1997. Fossil occurrences in the upper Cenomanian-lower Turonian at Ganuza, northern Spain approach to Cenomanian/Turonian boundary chronostratigraphy. Cretaceous Research 18, 331–353.
- Luciani, V., Cobianchi, M., 1999. The Bonarelli level and other black shales in the Cenomanian–Turonian of the northeastern dolomites (Italy): calcareous nannofossil and foraminiferal data. Cretaceous Research 20, 135–167.
- Molinaro, M., Leturmy, P., Guezou, J.C., Frizon de Lamotte, D., Eshraghi, S.A., 2005. The structure and kinematics of the south-eastern Zagros fold-thrust belt, Iran: from thin skinned to thick skinned tectonics. Tectonics 24, Tc3007.
- Moreau, P., 1996. Analyse de la transgression cenomanienne du Basin de l'Aquitaine, Géologie de la France, 1:3–16.
- Motiei, H., 1992. Stratigraphy of Iran, Zagros stratigraphy. Geology and Mineral exploration Organization, 583p.
- Neumann, M., Fourcade, E., 1985. Les grands Foraminifères du Crétacé moyen de la région méditerranéenne. Geobios, Lyon, mémoire spécial n° 7, 160 p.
- Nöel, D., Busson, G., Mangin, A.M., Cornée, A., 1995. La distribution des Pythonelles dans le Cénomanien inférieur et moyen du Boulonnais (Nord de la France): liaison avec les alternances craies/craies marneuses et implications environnementales et historiques. Revue de Micropaléontologie 38, 245–255.
- Ogg, J.G., Ogg, G., Gradstein, F.M., 2016. A concise geologic time scale: 2016. Elsevier.
- Parente, M., Frijia, G., Di Lucia, M., 2007. Carbon-isotope stratigraphy of Cenomanian-Turonian platform carbonates from the southern Apennines (Italy): a chemostratigraphic approach to the problem of correlation between shallow-water and deep water successions. Journal of Geological Society 164, 609–620.
- Ogg, J.G., Ogg, G.M., Gradstein, F.M., 2008. The Concise Geological Timescale. Cambridge University Press, Cambridge, 177p.
- Omaña, L., López-Doncel, R., Ramón Torres, J., Alencaster, G., López-Caballero, I., 2019. Mid–late Cenomanian larger benthic foraminifers from the El Abra Formation W Valles-San Luis Potosí Platform, central–eastern Mexico: Taxonomy, biostratigraphy and paleoenvironmental implications. Boletín de la Sociedad Geológica Mexicana 71(3), 691–725.
- Omaña, L., Torres, J.R., Doncel, R.L., Alencáster, G., Caballero, I.L., 2014. A pythonellid bloom in the Cenomanian-Turonian boundary interval from Cerritos in the western Valles-San Luis Potosí platform, Mexico: Paleoenvironmental significance. Revista Mexicana De Ciencias Geológicas 31(1), 28–44.
- Omidvar, M., Mehrabi, H., Sajjadi, F., Bahramizadeh-Sajjadi, H., Rahimpour-Bonab, H., Ashrafzadeh, A.R., 2014. Revision of the foraminiferal biozonation scheme in Upper Cretaceous carbonates of the Dezful Embayment, Zagros, Iran: Integrated palaeontological, sedimentological and geochemical investigation. Revue de micropaléontologie 57, 97–116.
- Piuz, A., Meister, C., Vicedo, V., 2014. New Alveolinoidea (Foraminifera) from the Cenomanian of Oman. Cretaceous Research 50, 344–360.
- Postuma, J.A., 1971. Manual of planktonic foraminifera, Elsevier Publishing Company, Amesterdam, London, New York, 419p.
- Premoli Silva, I., Verga, D., 2004. Practical manual of Cretaceous planktonic foraminifera. In D. Verga, R. Rettori (Eds.), International School on Planktonic Foraminifera: Perugia, Italy, Tipografia Ponte Felcino, Universities of Perugia and Milan, 3rd Course, 283p.
- Robaszynski, F., Caron, M., 1995. Foraminifères planctoniques du Crétacé: commentaire de la zonation Europe-Méditerranée. Bulletin de la Société géologique de France 166, 681–692.
- Saint-Marc, P., 1974. Études stratigraphique et micropaléontologique de l'Albien, du Cénomanien et du Turonien du Liban. Notes Mémoires du Moyen Orient, Paris-Beirut, 342p.
- Salaj, J., 1996. Tunisian Upper Cretaceous hypostratotypes as possible candidates of Tethyan stratotypes including stratotype boundaries. Zemni' Plyn a Nafta 40, 245–307.

- Schroeder, R., Neumann, M., 1985. Les Grands foraminifères du Crétacé moyen de la région méditerranéenne. Géobios Mémoire special 7, 1-161.
- Senemari, S., Afghah, M., 2020. Biostratigraphic correlation of Santonian-Maastrichtian calcareous nanofossil biozones with planktonic foraminifera zonation, Interior Fars region of the Zagros, southwest Iran. *Carbonates Evaporites* 35(2), 1-12.
- Sepehr, M., Cosgrove, J.W., 2004. Structural framework of the Zagros Fold–Thrust Belt, Iran, *Marine and Petroleum Geology* 21(7) 829-843.
- Sherkati S., Letouzey, J., 2004. Variation of structural style and basin evolution in the central Zagros (Izeh zone). *Marine Petroleum Geology* 21, 829–843.
- Sherkati, S., Molinaro, M., Frizon de Lamotte, D., Letouzey, J., 2005. Detachment folding in the central and eastern Zagros folded-belt (Iran): salt mobility, multiple detachments and late basement control. *Journal of Structural Geology* 27, 1680–1696.
- Sliter, V.W., 1989. Biostratigraphic zonation for Cretaceous planktonic foraminifers examined in thin section. *Journal of Foraminiferal Research* 19(1), 1-19.
- Takin, M., 1972. Iranian geology and continental drift in the Middle East. *Nature* 235, 147-150.
- Tur, N.A., Smirnov, J.P., Huber, B.T., 2001. Late Albian–Coniacian planktonic oraminifera biostratigraphy of the northeastern Caucasus. *Cretaceous Research* 22, 719-734.
- Velić, I., 2007. Stratigraphy and Palaeobiogeography of Mesozoic Benthic Foraminifera of the Karst Dinarides (SE Europe). *Geologica Croatica* 60, 1–113.
- Velic', I., Vlahovic', I., 1994. Foraminiferal assemblages in the Cenomanian of the Buzet-Savudrija area (northwestern Istria, Croatia). *Geologija* 47, 25–43.
- Wendler, J.E., Bown, P., 2013. Exceptionally well-preserved Cretaceous microfossils reveal new biomineralization styles. *Nature Communications* 4.
- Wonders, A.A., 1980. Middle-Late Cretaceous Planktonic Foraminifera of the western Mediterranean area. *Utrecht Micropalaeontology Bulletin* 24, 158p.
- Zargar Moradi, S.I., 2014. Lithostratigraphy, Biostratigraphy and Sequence stratigraphy of Sarvak Formation in the Izeh zone, M.A. Thesis, Islamic Azad University, Khorram Abad Branch, 140p.

